



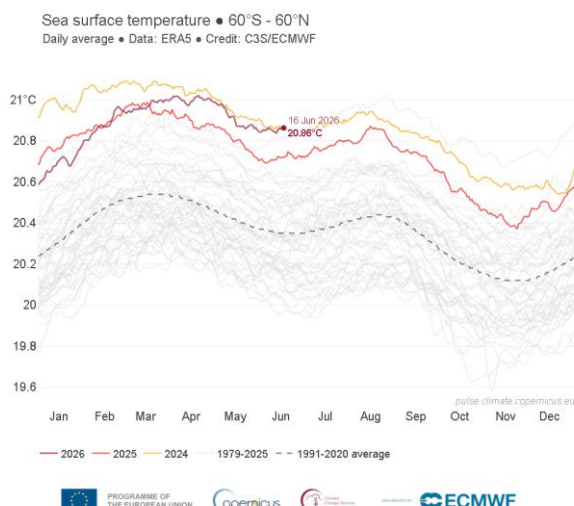
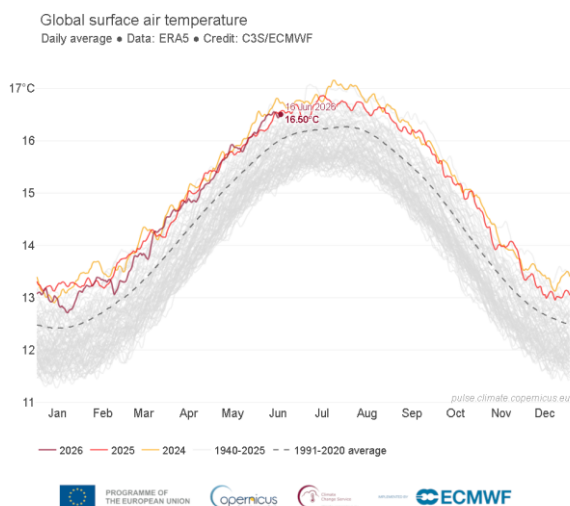
ААНИИ

Арктический и антарктический
научно-исследовательский институт

Информационные материалы по мониторингу морского ледяного покрова
Арктики и Южного Океана на основе данных ледового картирования и
пассивного микроволнового зондирования SSMR-SSM/I-SSMIS-AMSR2

08.06.2026 – 16.06.2026

№ 24(767)



Санкт-Петербург 2026

тел. +7(812)337-3149, эл. почта: vms@aari.ag

Адрес в сети Интернет: <http://wdc.aari.ru/datasets/doo42/>

Примечание: Настоящий информационный продукт МЦД МЛ ААНИИ, включая его составляющие, не относится к информационным ресурсам ЕСИМО, нацелен на климатический мониторинг Северной и Южной полярных областей и не предназначен для использования в навигационных целях

Содержание

Северное Полушарие	3
Рисунок 1а – Обзорная ледовая карта СЛО (цветовая раскраска по общей сплоченности)	3
Рисунок 1б – Обзорная ледовая карта СЛО (цветовая раскраска по преобладающему возрасту)	4
Рисунок 1в – Мозаика снимков Sentinel-1 и положение крупных полыней по данным AMSR2	5
Рисунок 1г – Поле дрейфа морского льда СЛО по данным AMSR2	6
Рисунок 2а - Оценка толщины льда и степени разрушенности по данным AMSR2	7
Рисунок 2б - Оценка толщины льда на основе данных ИСЗ CryoSat-2-SMOS-S3	Error! Bookmark not defined.
Рисунок 3а – Обзорная ледовая карта СМП.	8
Рисунок 3б - Оценка толщины льда и, мозаика радиолокационных снимков СМП	8
Рисунок 4а – Ледовые условия за текущий и аналогичные периоды 2007-2025 гг	9
Рисунок 4б – Оценка возраста льда (сутки) за 2018 – 2026 гг. по данным AMSR2	10
Рисунок 4в – Поля распределения модельной ошшины льда за 2005-2026 гг.	11
Рисунок 4г – Ежедневные оценки сезонного хода объема морского льда СЛО	12
Рисунок 5а – Аномалии приземной температуры воздуха и поверхности моря за последние сутки.	13
Рисунок 5б – Аномалии приземной температуры воздуха за последнюю пентаду 2023-2026 гг	14
Рисунок 5в – Аномалии приземной суммы осадков за последнюю пентаду 2023-2026 гг.	15
Таблица 1 - Медианные значения ледовитости по акваториям Северной полярной области	16
Таблица 2 – Экстремальные значения ледовитости по акваториям Северной полярной области	17
Таблица 3 – Динамика изменения значений ледовитости по акваториям Северной полярной области	17
Рисунок 6а – Ежедневные оценки ледовитости по акваториям Северной Полярной Области	19
Рисунок 6б – Ежедневные оценки сезонной ледовитости Северной Полярной Области	20
Южный океан	21
Рисунок 7а – Ледовая карта Южного океана (цветовая окраска по общей сплоченности)	21
Рисунок 7б – Ледовая карта Южного океана (цветовая окраска по возрасту)	22
Рисунок 7в – Положение кромки льда и зон разреженных морского льда Южного океана	23
Рисунок 7г – Поле дрейфа морского льда Южного океана по данным AMSR2	24
Рисунок 8 – Оценка возраста льда Южного океана по данным AMSR2	26
Рисунок 9 – Аномалии приземной температуры воздуха и поверхности океана за текущие сутки.	27
Таблица 4 – Линейные размеры и площадь крупных айсбергов Южного океана	28
Рисунок 10а – Ежедневные оценки сезонного хода ледовитости акваторий Южного Океана	29
Рисунок 10б – Ежедневные оценки сезонных изменений ледовитости Южного океана за период	30
Таблица 5 – Медианные и экстремальные значения ледовитости Южного океана	31
Таблица 6 – Динамика изменения значений ледовитости морей Южного океана	31
Рисунок 11а – Среднегодовая сглаженная ледовитость Арктики, Антарктики и Земли в целом	32
Рисунок 11б – Среднегодовая сглаженная площадь морского льда Арктики, Антарктики и Земли в целом	33
Рисунок 11в – Среднегодовая сглаженная общая сплоченность Арктики и Антарктики	34
Таблица 8 – Средние, аномалии среднего и экстремальные значения ледовитостей для Северной и Южной полярных областей и её отдельных акваторий	35
Таблица 10 – Динамика изменения ледовитости морей Северной полярной области и Южного океана	39
Характеристика исходного материала и методика расчетов	40
Список источников	45

Северное Полушарие

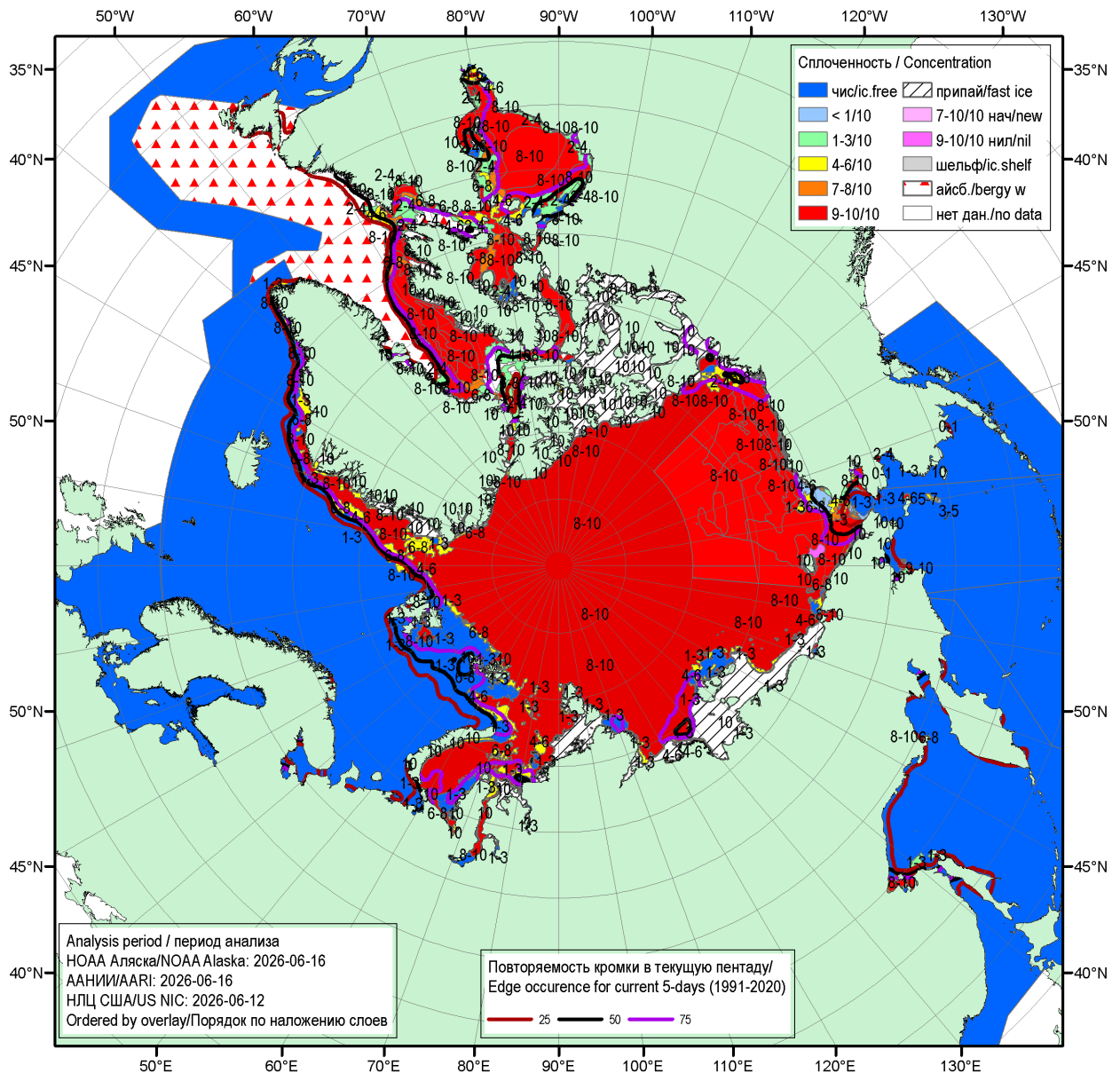


Рисунок 1а – Обзорная ледовая карта СЛО за 12.06.2026 – 16.06.2026 (цветовая раскраска по общей сплоченности) на основе ледового анализа NOAA Аляска, ААНИИ и Национального ледового центра США и повторяемость кромки за соответствующий 5-дневный период за 1991-2020 гг. по наблюдениям SSMR-SSM/I-SSMIS (алгоритм NASATEAM) [4, 10, 23, 17].

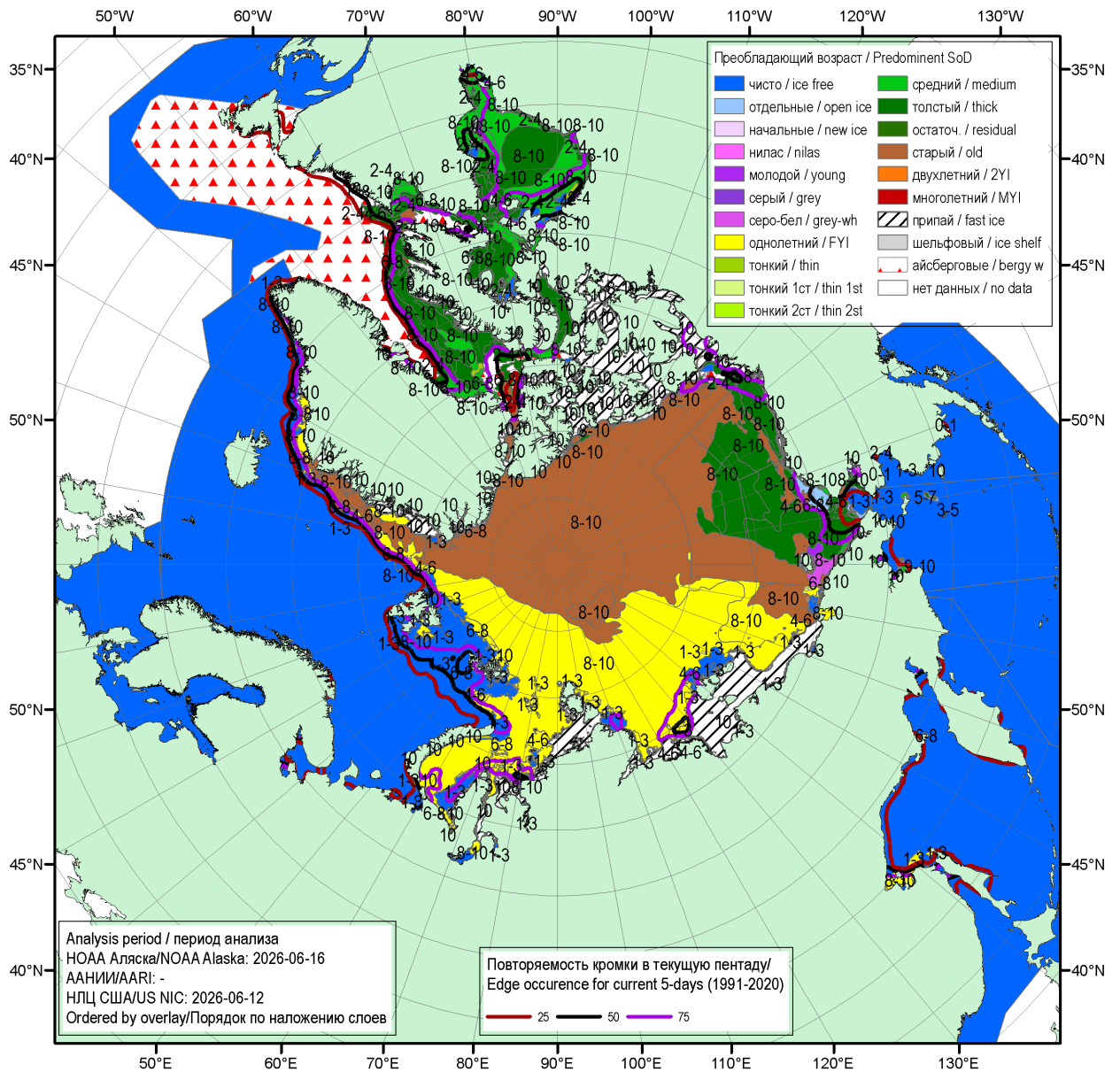


Рисунок 16 – Обзорная ледовая карта СЛО за 12.06.2026 – 16.06.2026 (цветовая раскраска по преобладающему возрасту) на основе ледового анализа NOAA Аляска, ААНИИ и Национального ледового центра США и повторяемость кромки за соответствующий 5-дневный период за 1991-2020 гг. по наблюдениям SSMR-SSM/I-SSMIS (алгоритм NASATEAM) [4, 10, 23, 17].

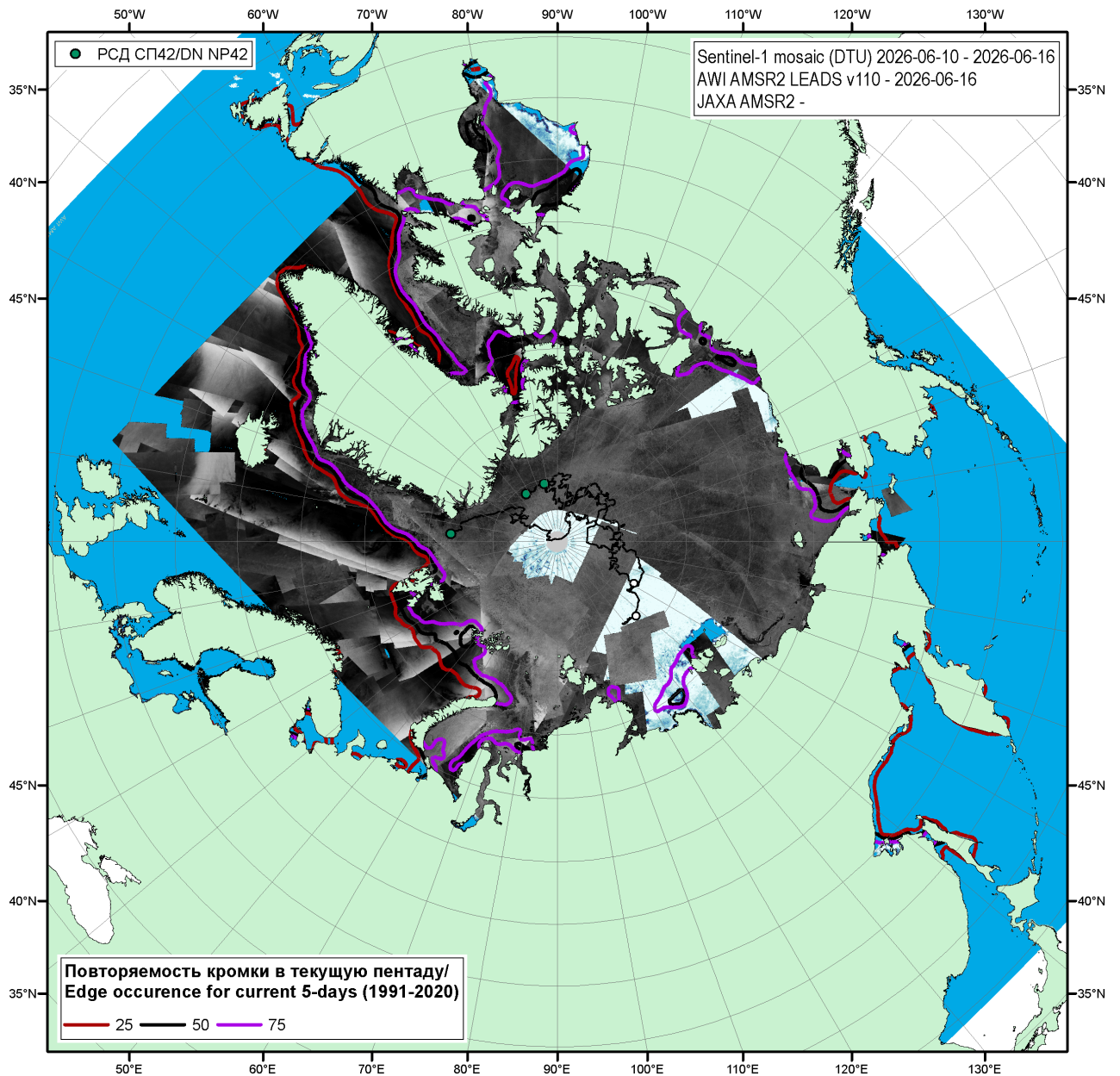


Рисунок 1в – Мозаика снимков Sentinel-1 (DTU) за 10.06.2026 – 16.06.2026, общая сплоченность и оценка положения полыней за 16.06.2026 г. по данным AMSR2 (AWI-JAXA), повторяемость кромки за соответствующий 5-дневный период за 1991-2020 гг. по наблюдениям SSMR-SSM/I-SSMIS (алгоритм NASATEAM) и положение РСН СП-42 на 18.06.2025 г. 06:00МСК.

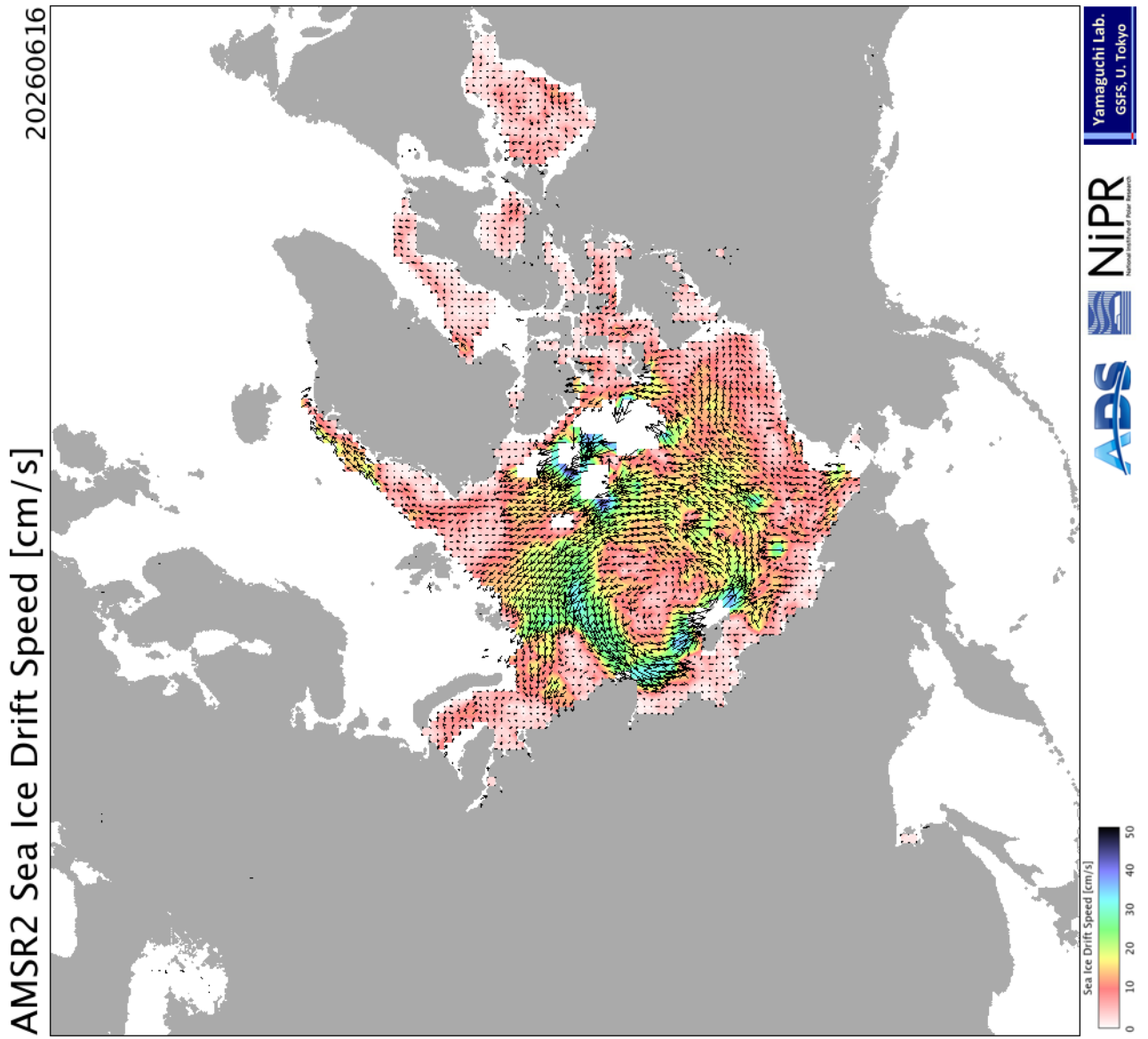


Рисунок 1г – Поле дрейфа морского льда Северной полярной области за последний доступный срок по данным AMSR2, источник JAXA [29].

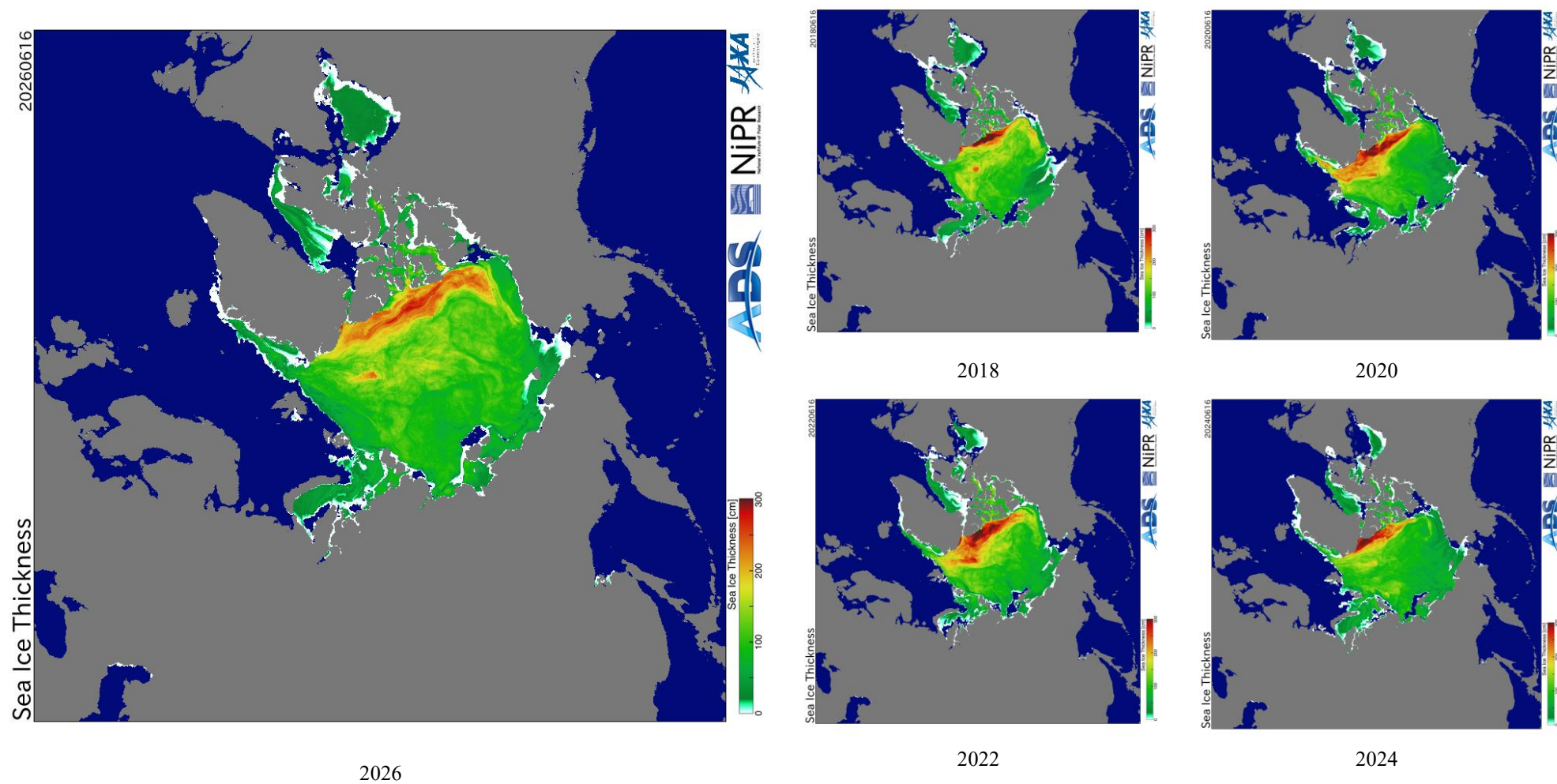


Рисунок 2а - Оценка толщины льда и степени разрушенности на основе данных пассивного микроволнового зондирования AMSR2 16.06 в 2018 – 2026 гг. [29].

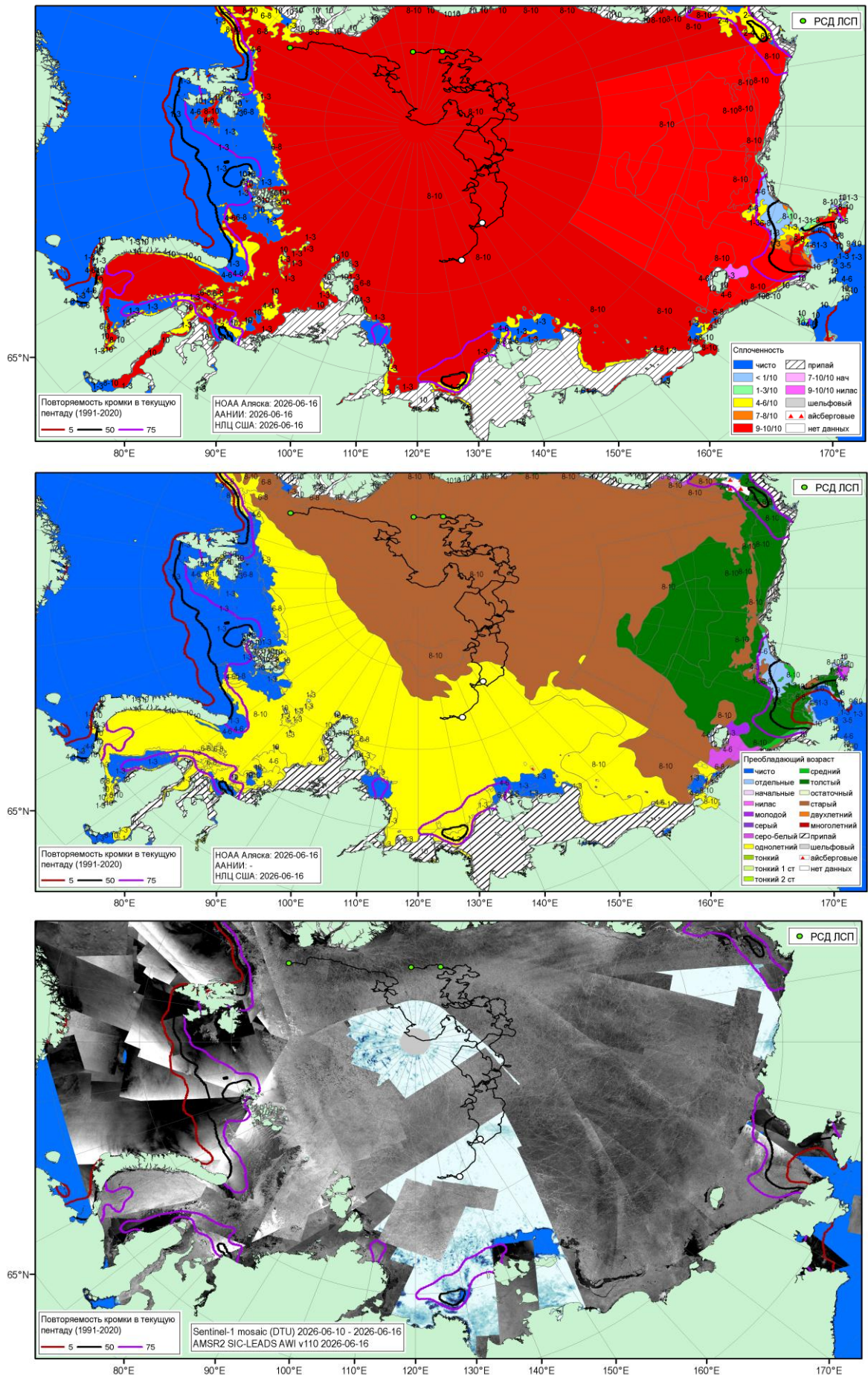
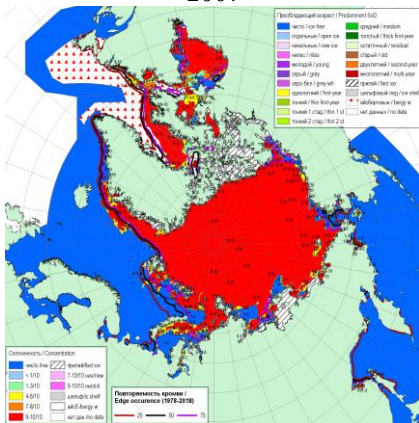


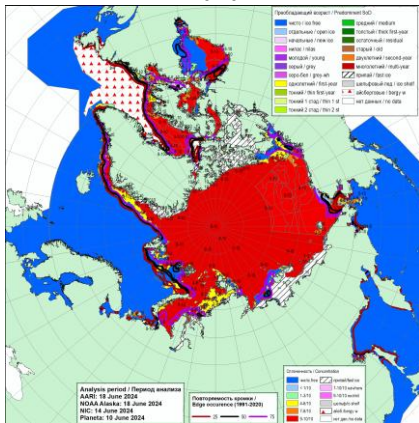
Рисунок 3 - Обзорная ледовая карта МЦП за 12.06-16.06.2026 г., мозаика радиолокационных снимком ИСЗ Sentinel-1AC за 03.06-09.06.2026 (DTU) с оценкой положения польшей за 16.06.2026 г. по данным AMSR2 (AWI-JAXA), повторяемость кромки за соответствующий 5-дневный период 1991-2020 гг. по наблюдениям SSMR-SSM/I-SSMIS (алгоритм NASATEAM) и положение РСН СП-42 на 18.06.2026 0600МСК [27, 28, 17].



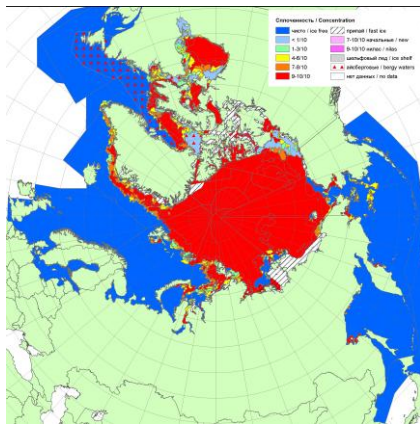
2007



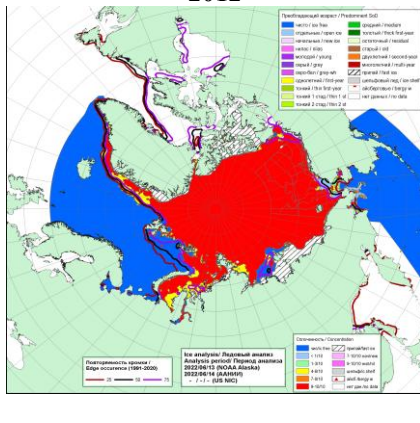
2020



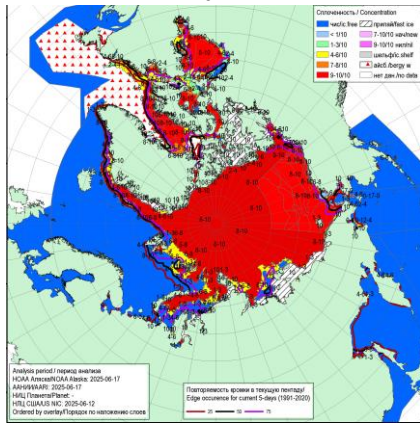
2024



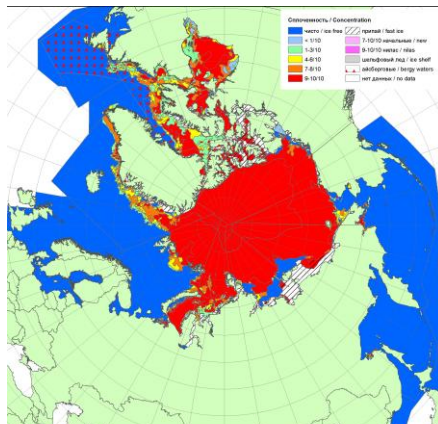
2012



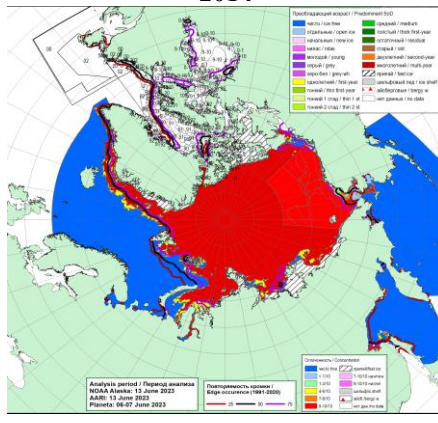
2022



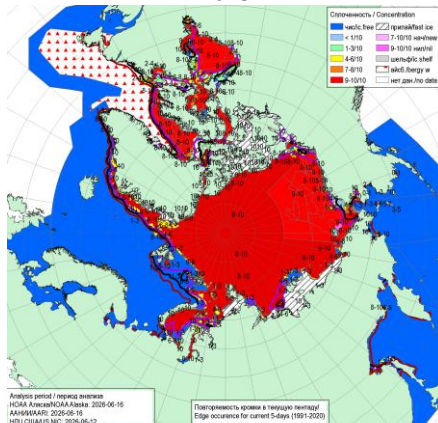
2025



2014

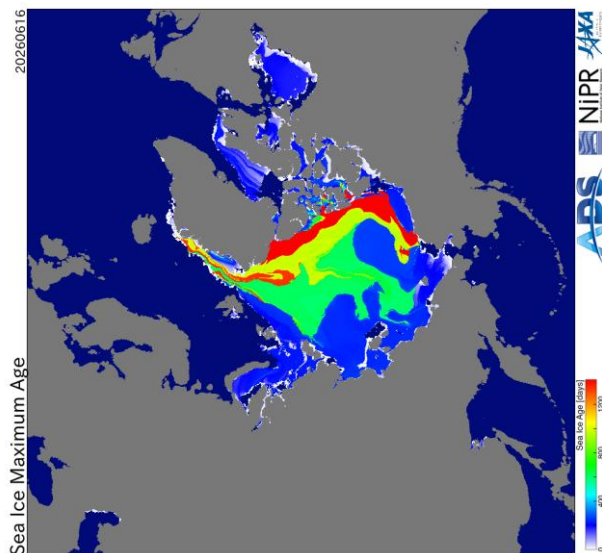


2023

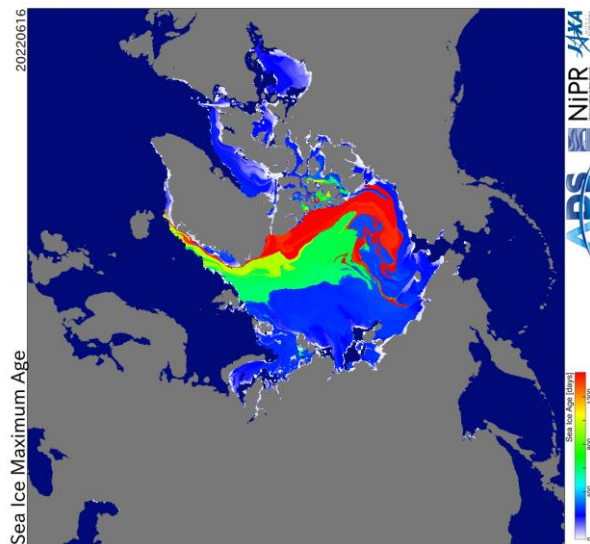


2026

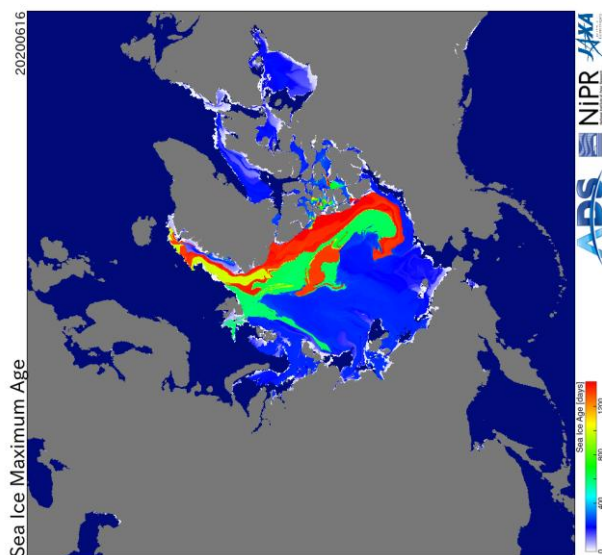
Рисунок 4а – Ледовые условия за 12.06 - 16.06.2026. и аналогичные периоды 2007-2025 гг. на основе ледового анализа ААНИИ, НИЦ Планета, Канадской ледовой службы, Национального ледового центра США и НОАА Аляска [4, 10, 12, 23, 17].



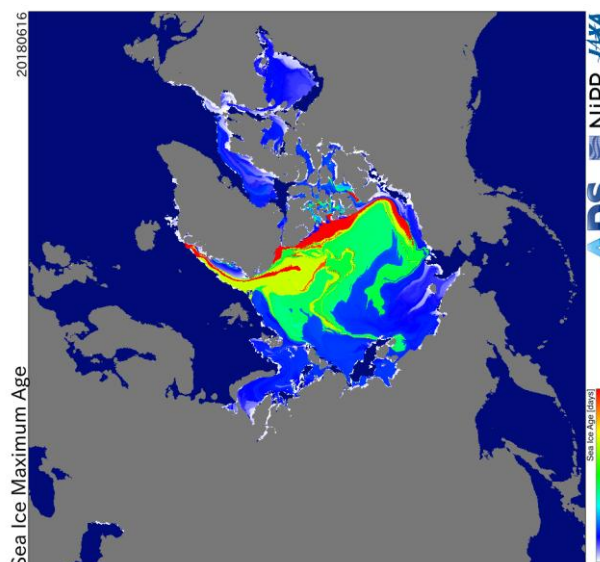
2026



2022

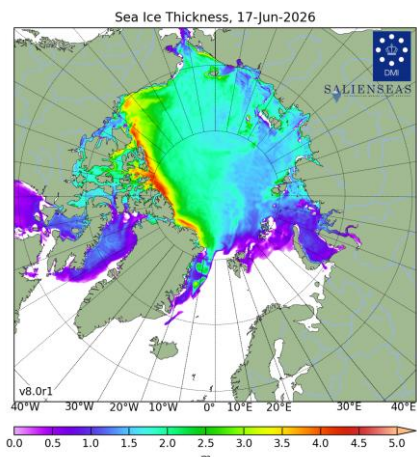


2020

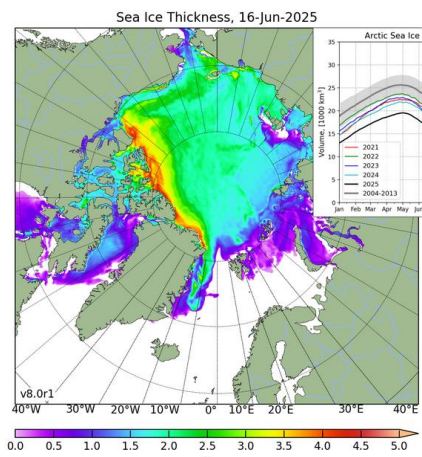


2018

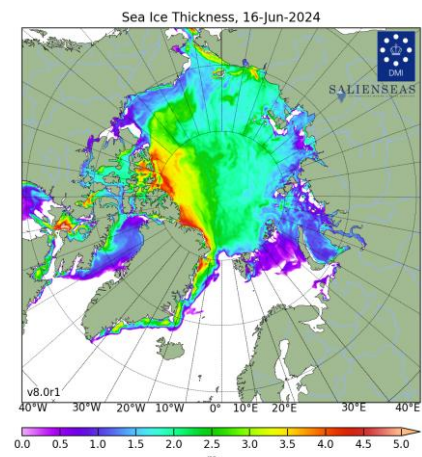
Рисунок 46 – Оценка максимального возраста льда (сутки) на 16.06 за 2018 – 2026 гг. по данным JAXA-NIPR [29]



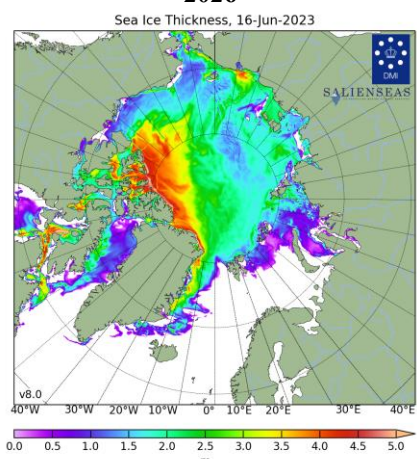
2026



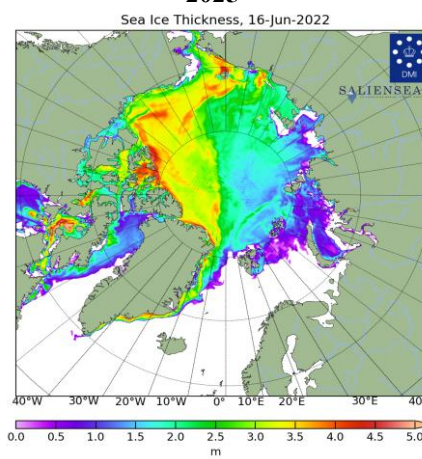
2025



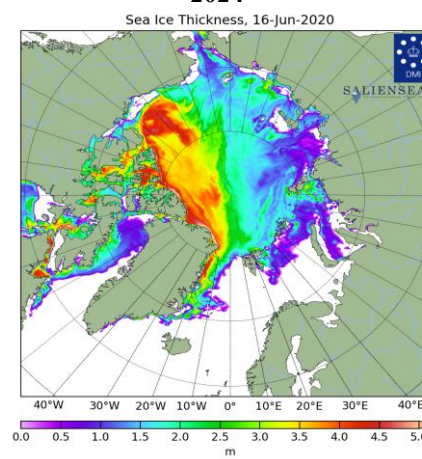
2024



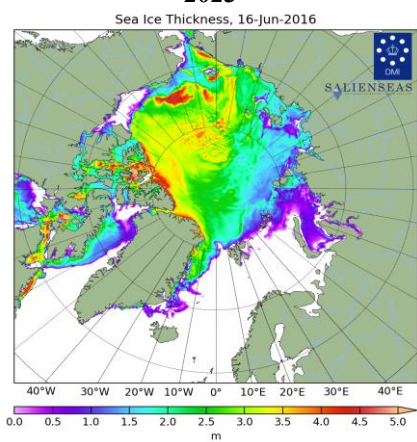
2023



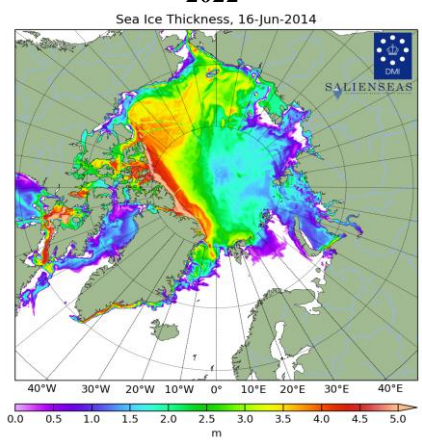
2022



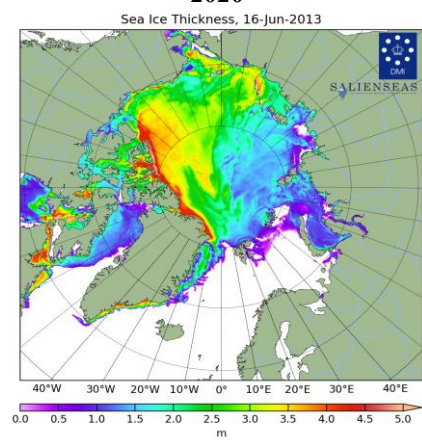
2020



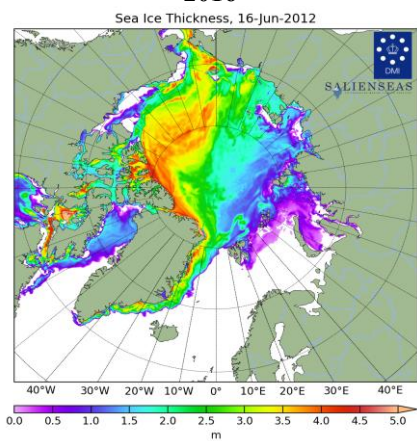
2016



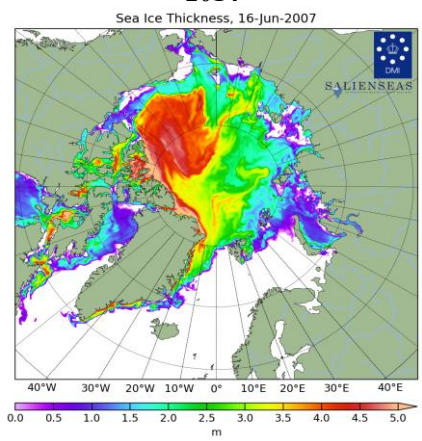
2014



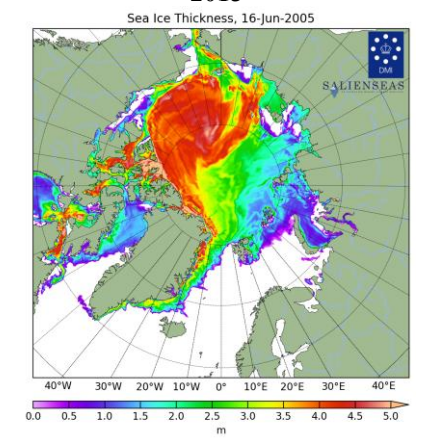
2013



2012



2007



2005

Рисунок 4в – Поля распределения средневзвешенной толщины льда совместной модели морского льда – океана NUSOM/CICE Датского метеорологического института 16-17.06 за 2005-2026 гг. [22].

Arctic Sea Ice Volume, 17-Jun-2026

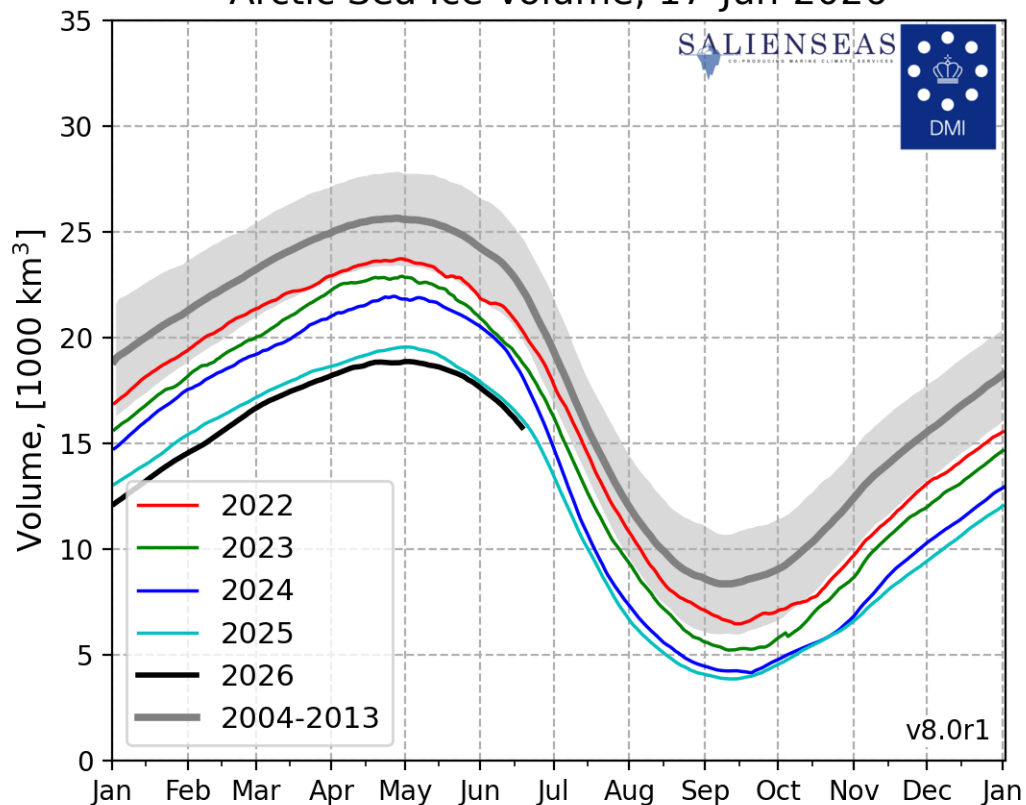
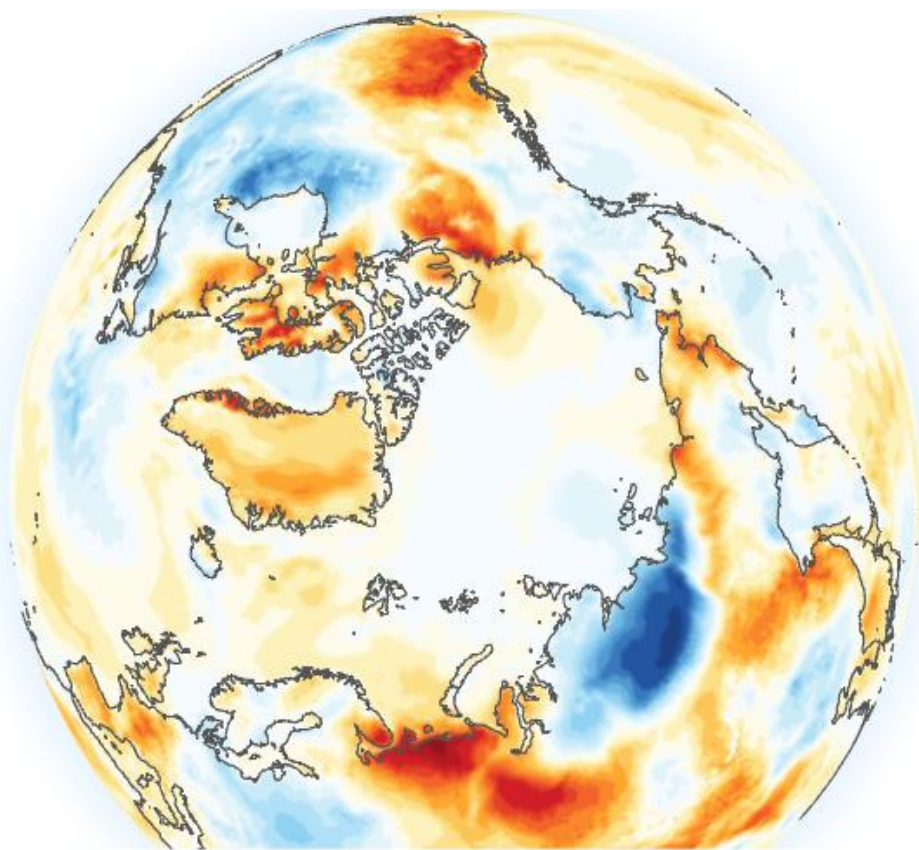
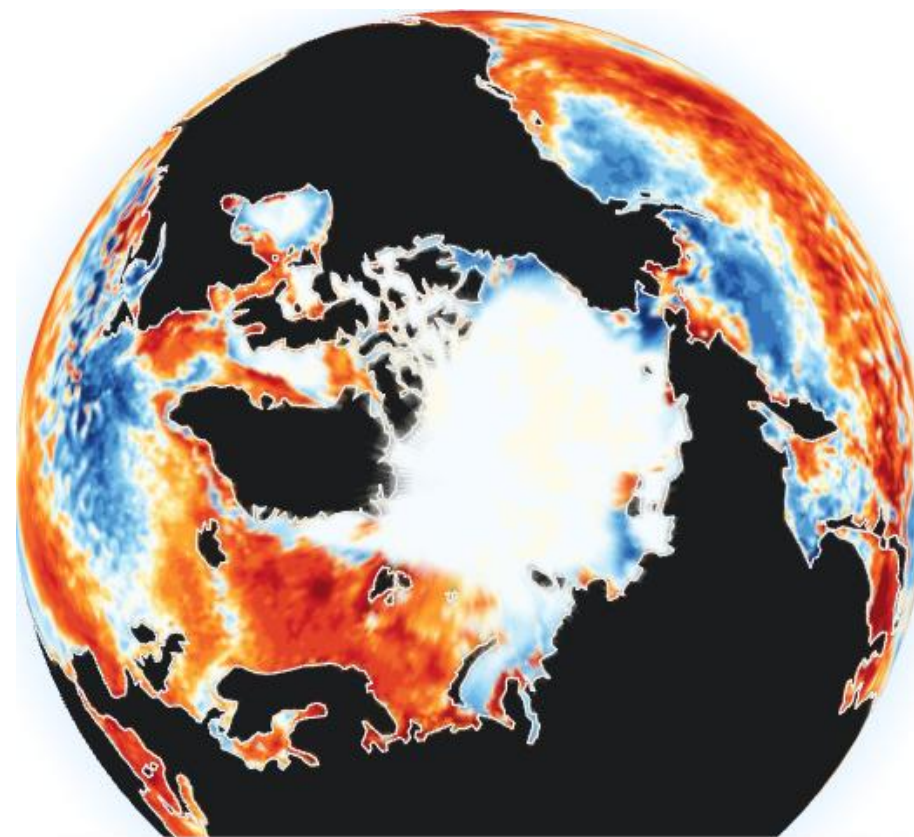
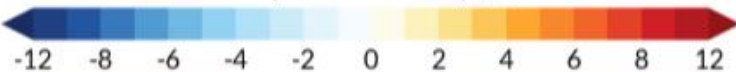


Рисунок 4г – Ежедневные оценки сезонного хода объема морского льда СЛО на основе расчетов средневзвешенной толщины льда совместной модели морского льда – океана HYCOM/CICE Датского метеорологического института с 28.02.2004 по последний доступный срок [22].



Temperature anomaly (°C)



Temperature anomaly (°C)

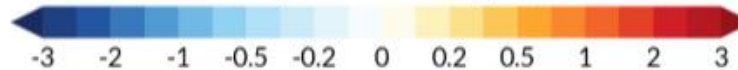


Рисунок 5а – Аномалия приземной температуры воздуха (2м) и температуры поверхности моря на 16.06.2026 г. относительно периода 1991-2020 гг. - The [Copernicus Climate Change Service \(C3S\)](#), implemented by the [European Centre for Medium-Range Weather Forecasts \(ECMWF\)](#) on behalf of the European Commission is part of the European Union's space programme

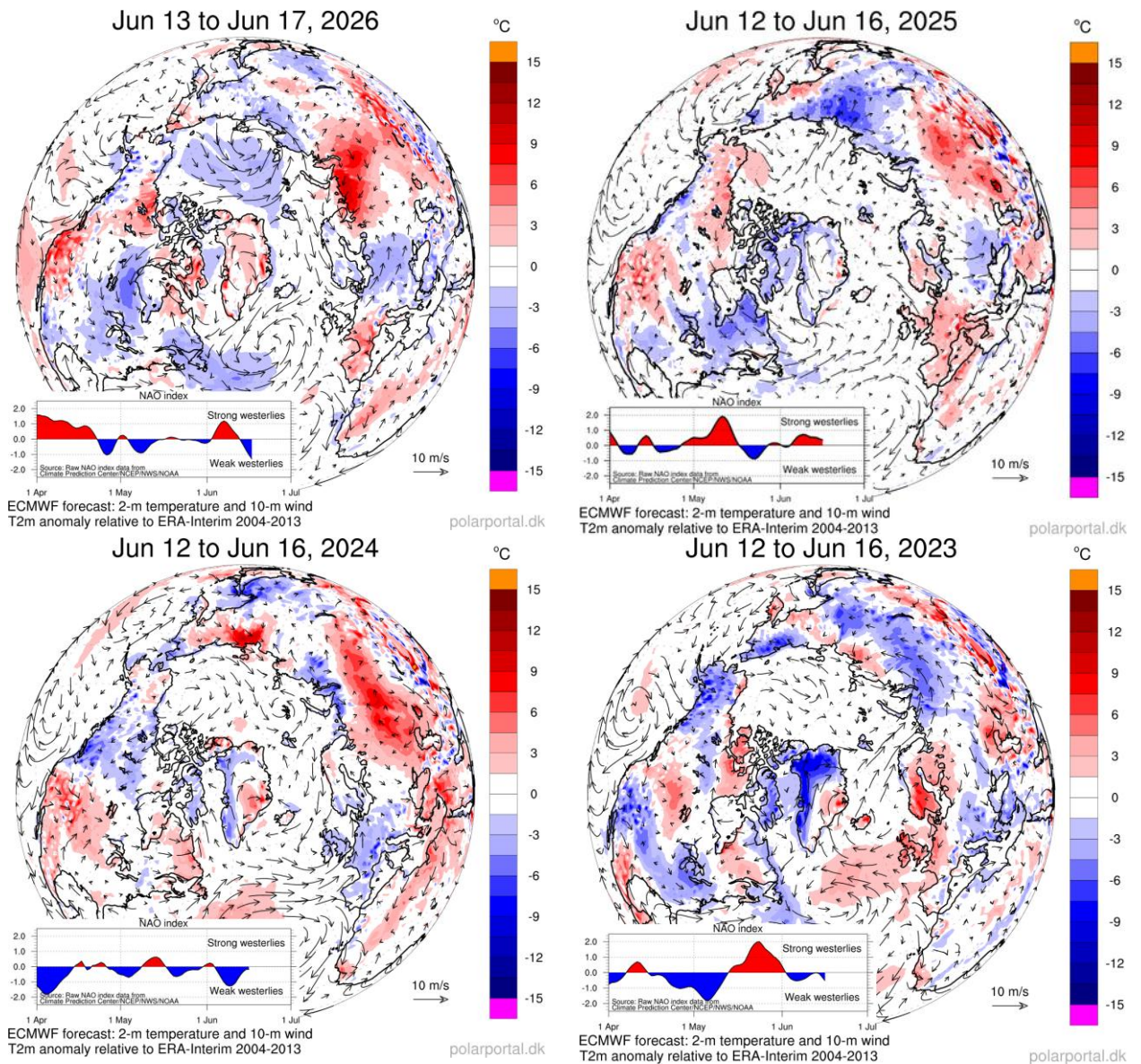


Рисунок 5б – Аномалии приземной температуры воздуха (2м) и осредненные вектора скорости ветра (10 м) за последнюю пентаду 2022-2025 гг. относительно периода 2004-2013 гг. (<http://polarportal.dk>) [22]

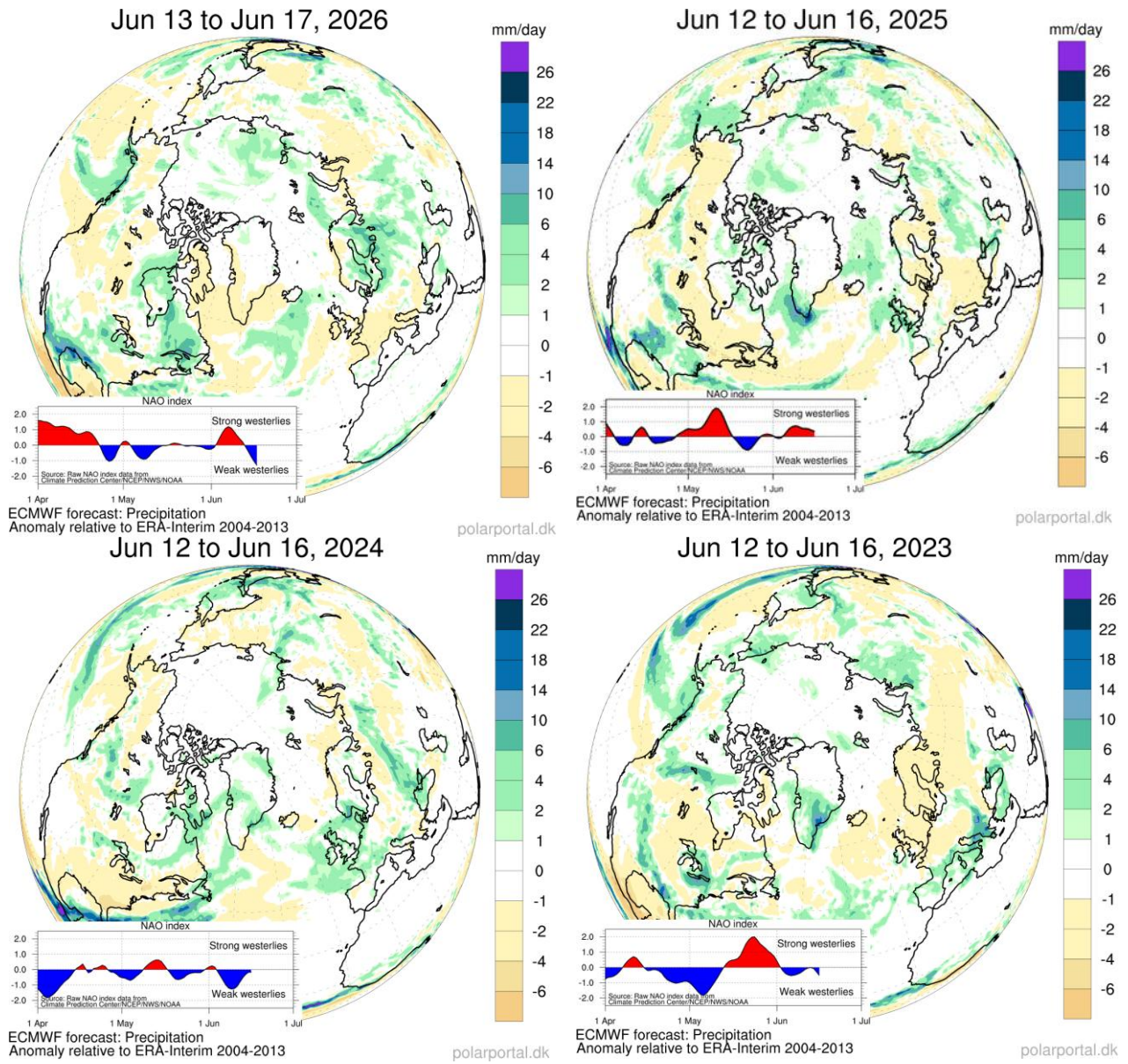


Рисунок 5в – Аномалии приземной суммы осадков за последнюю пентаду 2022-2025 гг. относительно периода 2004-2013 гг [22].

Таблица 1 - Медианные значения ледовитости для Северной полярной области, 3-х меридиональных секторов и морей СМП за текущие 30 и 7-дневные интервалы, и её аномалии от 2020-2024 гг. и интервалов 2015-2025 гг. и 1978-2025 гг. по данным наблюдений SSMR-SSM/I-SSMIS, алгоритмы NASATEAM [13-17]

Северная полярная область

Месяц	S, тыс. км2	Аномалии, тыс км2/%						
		2021 г	2022 г	2023 г	2024 г	2025 г	2016-2026гг	1978-2026гг
15.05-14.06	11673.2	-427.9	-658.1	-621.8	-515.2	-261.9	-194.4	-822.9
		-3.5	-5.3	-5.1	-4.2	-2.2	-1.6	-6.6
08-14.06	10968.7	-237.5	-459.3	-596.5	-320.8	-155.1	-164.1	-871.2
		-2.1	-4.0	-5.2	-2.8	-1.4	-1.5	-7.4

Сектор 45°W-95°E (Гренландское - Карское моря)

Месяц	S, тыс. км2	Аномалии, тыс км2/%						
		2021 г	2022 г	2023 г	2024 г	2025 г	2016-2026гг	1978-2026гг
15.05-14.06	2579.9	-347.8	-372.0	-299.5	-501.7	-88.6	-191.7	-545.1
		-11.9	-12.6	-10.4	-16.3	-3.3	-6.9	-17.4
08-14.06	2282.4	-353.0	-283.6	-371.5	-569.6	3.8	-239.6	-671.2
		-13.4	-11.1	-14.0	-20.0	0.2	-9.5	-22.7

Сектор 95°E-170°W (моря Лаптевых - Чукотское, Берингово, Охотское)

Месяц	S, тыс. км2	Аномалии, тыс км2/%						
		2021 г	2022 г	2023 г	2024 г	2025 г	2016-2026гг	1978-2026гг
15.05-14.06	3493.3	-6.1	9.3	-58.3	-57.2	41.7	11.6	-121.4
		-0.2	0.3	-1.6	-1.6	1.2	0.3	-3.4
08-14.06	3435.3	182.9	131.9	4.1	27.3	60.6	87.4	-16.0
		5.6	4.0	0.1	0.8	1.8	2.6	-0.5

Сектор 170°W-45°W (море Бофорта и Канадская Арктика)

Месяц	S, тыс. км2	Аномалии, тыс км2/%						
		2021 г	2022 г	2023 г	2024 г	2025 г	2016-2026гг	1978-2026гг
15.05-14.06	5600.1	-74.0	-295.4	-264.0	43.7	-215.1	-14.3	-156.5
		-1.3	-5.0	-4.5	0.8	-3.7	-0.3	-2.7
08-14.06	5251.0	-67.5	-307.6	-229.2	221.5	-219.5	-12.0	-184.1
		-1.3	-5.5	-4.2	4.4	-4.0	-0.2	-3.4

Северный Ледовитый океан

Месяц	S, тыс. км2	Аномалии, тыс км2/%						
		2021 г	2022 г	2023 г	2024 г	2025 г	2016-2026гг	1978-2026гг
15.05-14.06	10781.2	-251.9	-403.8	-215.9	-286.5	-52.0	-104.6	-562.5
		-2.3	-3.6	-2.0	-2.6	-0.5	-1.0	-5.0
08-14.06	10293.0	-166.2	-256.7	-243.7	-121.6	39.9	-96.1	-716.4
		-1.6	-2.4	-2.3	-1.2	0.4	-0.9	-6.5

Моря СМП (моря Карское-Чукотское)

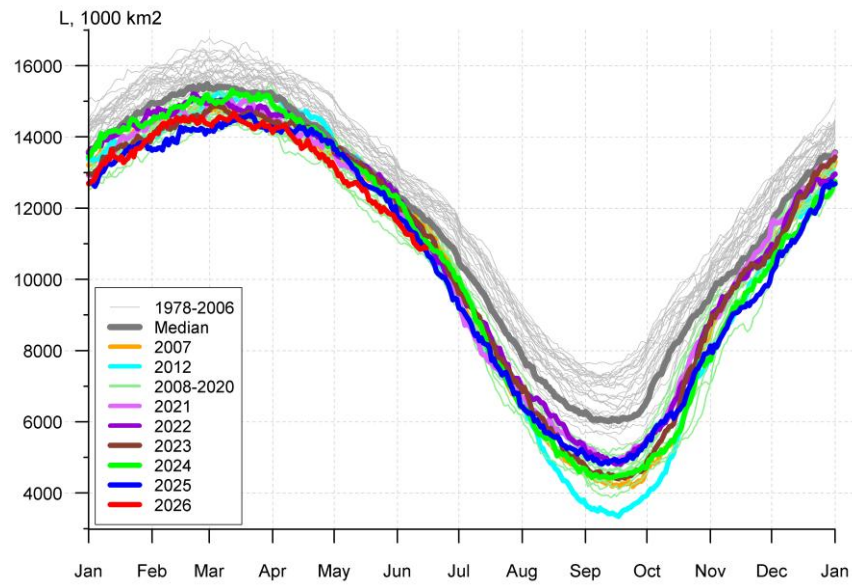
Месяц	S, тыс. км2	Аномалии, тыс км2/%						
		2021 г	2022 г	2023 г	2024 г	2025 г	2016-2026гг	1978-2026гг
15.05-14.06	2923.7	82.7	37.3	29.1	-55.8	151.1	86.0	-2.2
		2.9	1.3	1.0	-1.9	5.4	3.0	-0.1
08-14.06	2869.4	226.7	157.2	101.6	-13.1	272.0	177.8	33.4
		8.6	5.8	3.7	-0.5	10.5	6.6	1.2

Таблица 2 – Экстремальные и средние значения ледовитости для Северной полярной области, 3 меридиональных секторов и моря СМП за текущий 7-дневный интервал по данным наблюдений [13-17]

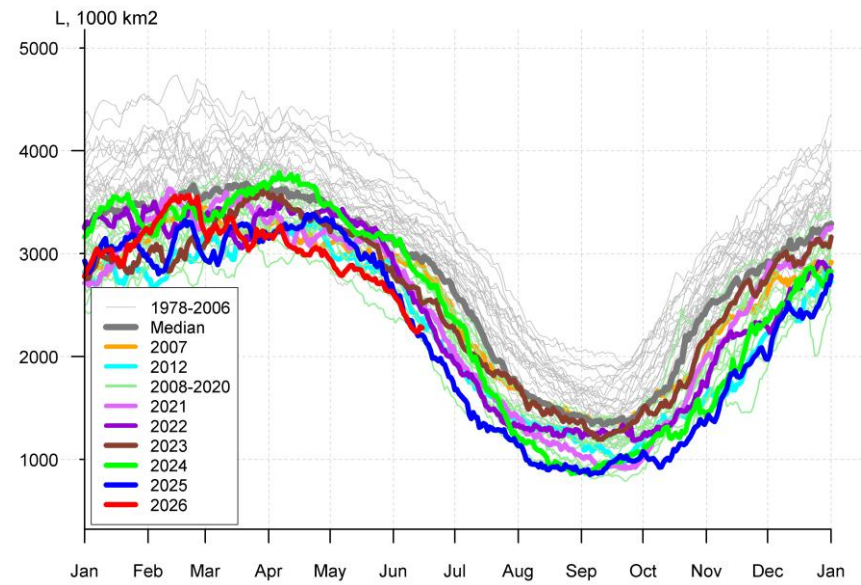
Северная полярная область				
Месяц	Минимальное знач.	Максимальное знач.	Среднее знач.	Медиана
08-14.06	10683.6 14.06.2016	12937.8 09.06.1979	11839.9	11843.5
Сектор 45°W-95°E (Гренландское - Карское моря)				
Месяц	Минимальное знач.	Максимальное знач.	Среднее знач.	Медиана
08-14.06	2180.7 14.06.2016	3785.0 08.06.1981	2953.6	2965.1
Сектор 95°E-170°W (моря Лаптевых - Чукотское, Берингово, Охотское)				
Месяц	Минимальное знач.	Максимальное знач.	Среднее знач.	Медиана
08-14.06	3183.5 13.06.1990	3648.5 10.06.1980	3451.3	3470.2
Сектор 170°W-45°W (море Бофорта и Канадская Арктика)				
Месяц	Минимальное знач.	Максимальное знач.	Среднее знач.	Медиана
08-14.06	4749.6 11.06.2019	5914.5 08.06.1984	5435.0	5433.0
Северный Ледовитый океан				
Месяц	Минимальное знач.	Максимальное знач.	Среднее знач.	Медиана
08-14.06	10059.9 14.06.2025	12062.2 08.06.1981	11009.4	11031.7
Моря СМП (моря Карское-Чукотское)				
Месяц	Минимальное знач.	Максимальное знач.	Среднее знач.	Медиана
08-14.06	2423.4 14.06.2011	3023.5 12.06.1983	2835.9	2874.8

Таблица 3 – Динамика изменения значений ледовитости по сравнению с предыдущей неделей для морей Северной полярной области за 08.06 – 14.06.2026 г. по данным наблюдений SSMR-SSM/I-SMIS [13-17]

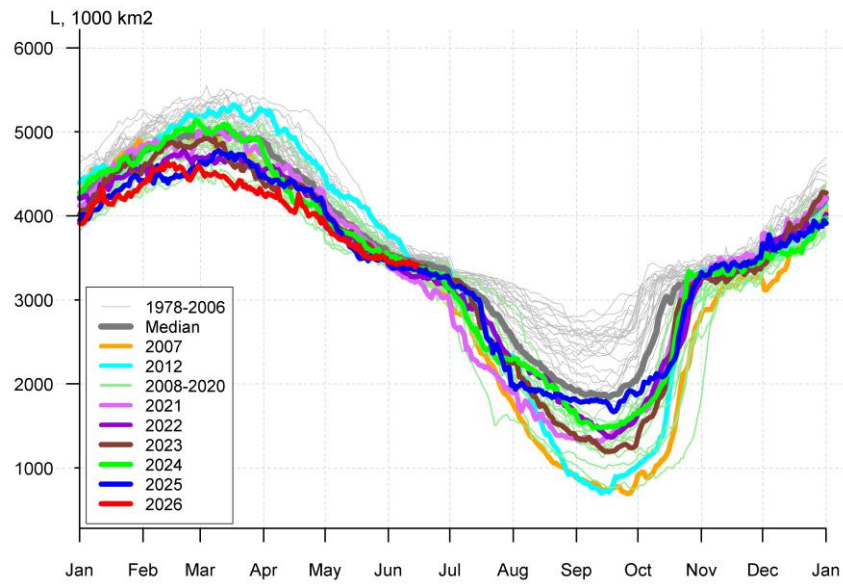
Регион	Северная полярная область	Сектор 45°W-95°E (Гренландское - Карское моря)	Сектор 95°E-170°W (моря Лаптевых - Чукотское, Берингово, Охотское)	Сектор 170°W-45°W (море Бофорта и Канадская Арктика)	Северный Ледовитый океан	Моря СМП (моря Карское-Чукотское)
Разность	-441.0	-220.9	-4.9	-215.2	-355.5	-31.8
тыс. кв. км/сут.	-63.0	-31.6	-0.7	-30.7	-50.8	-4.5



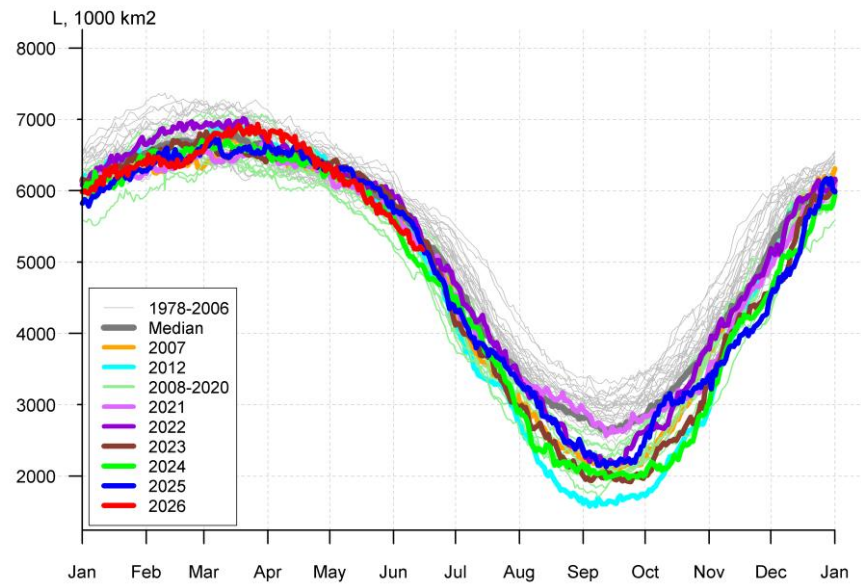
a)



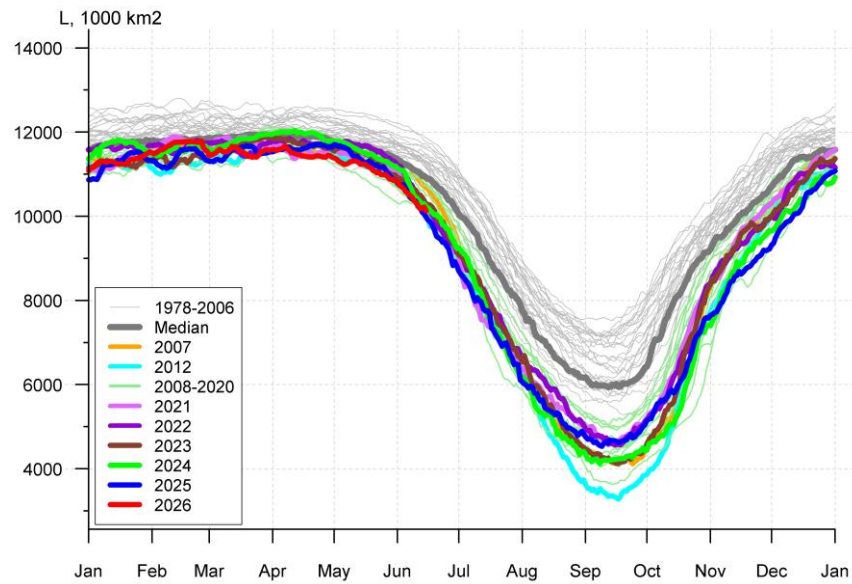
б)



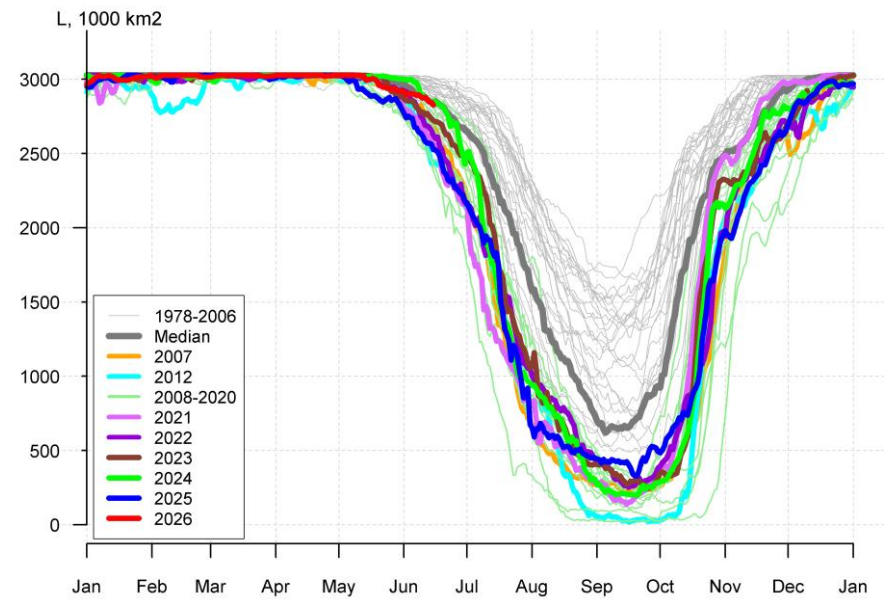
B)



г)



д)



е)

Рисунок 6а – Ежедневные оценки сезонного хода ледовитости для Северной Полярной Области и трех меридиональных секторов, СЛО и морей СМП за период 26.10.1978 – последний доступный срок по годам на основе расчетов по данным SSMR-SSM/I-SSMIS, алгоритмы NASATEAM: а) Северная полярная область, б) сектор 45°W-95°E (Гренландское – Карское моря), в) сектор 95°E-170°W (моря Лаптевых – Чукотское и Берингово, Охотское), г) сектор 170°W-45°W (море Бофорта и Канадская Арктика), д) Северный Ледовитый океан, е) Северный морской путь (Карское - Чукотское моря) [13-17].

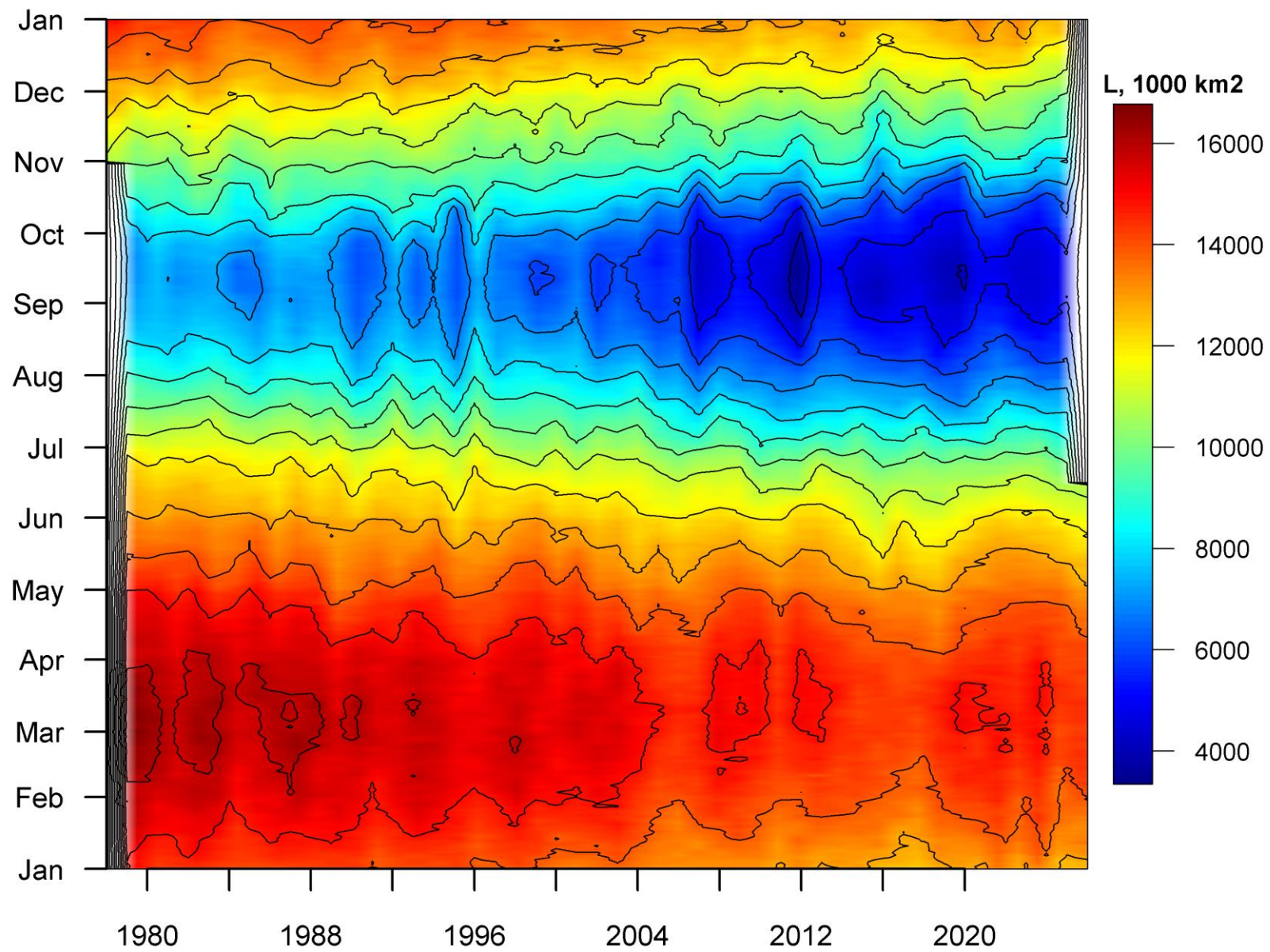


Рисунок 66 – Ежедневные оценки сезонных изменений ледовитости для Северной Полярной Области за период 26.10.1978 – последний доступный срок на основе расчетов по данным SSMR-SSM/I-SSMIS, алгоритм NASATEAM [13-17].

Южный океан

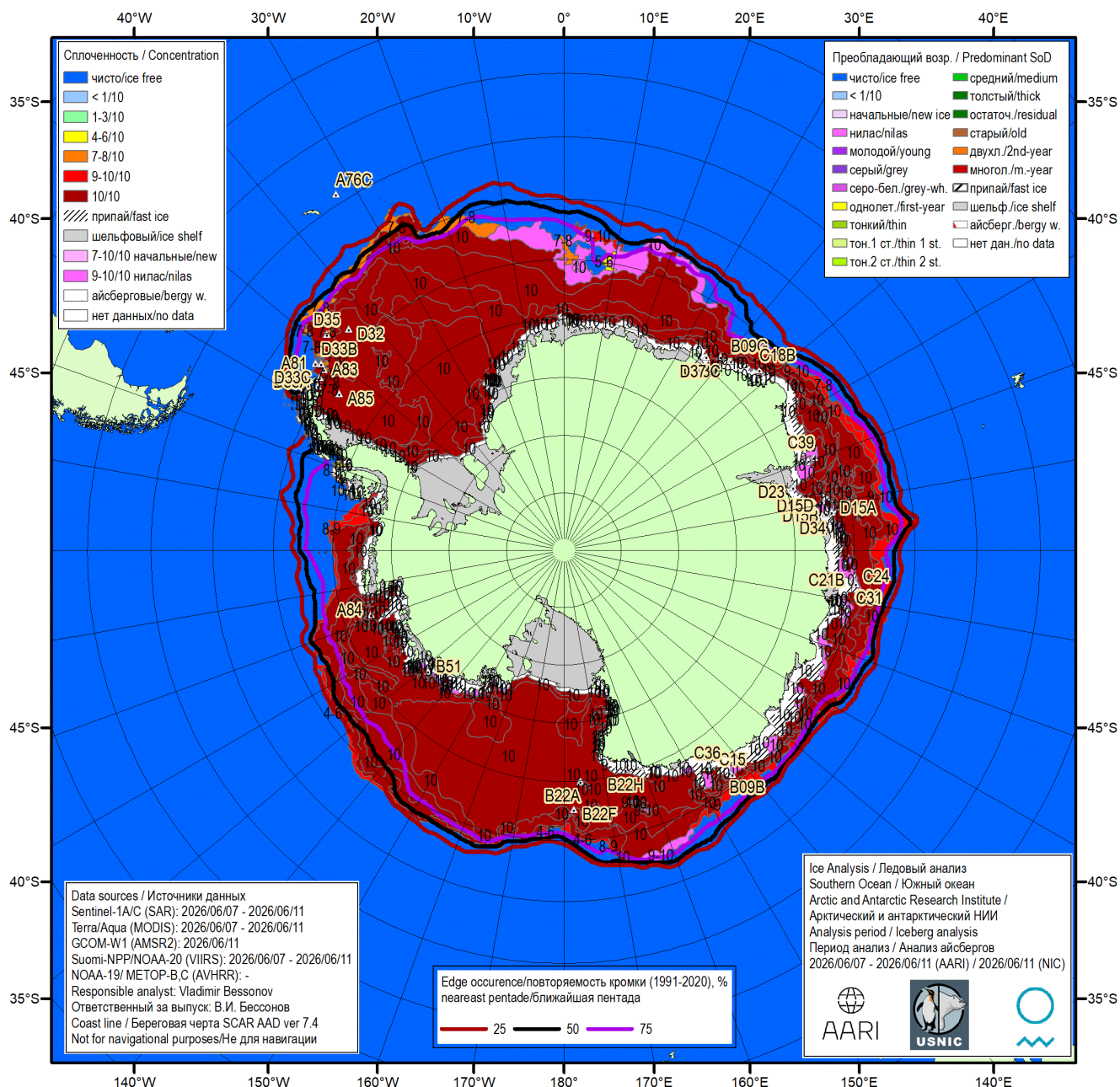


Рисунок 7а – Ледовая карта Южного океана (цветовая окраска по общей сплоченности) и расположение крупных айсбергов на основе ледового анализа за 11.06.2026 в рамках проекта совместного ледового картирования Южного океана ААНИИ, НЛЦ США и НМИ и повторяемость кромки за ближайшую пентаду за период 1991-2020 гг. по наблюдениям SSMR-SSM/I-SSMIS (алгоритм NASATEAM) [5, 10, 17, 21]

h

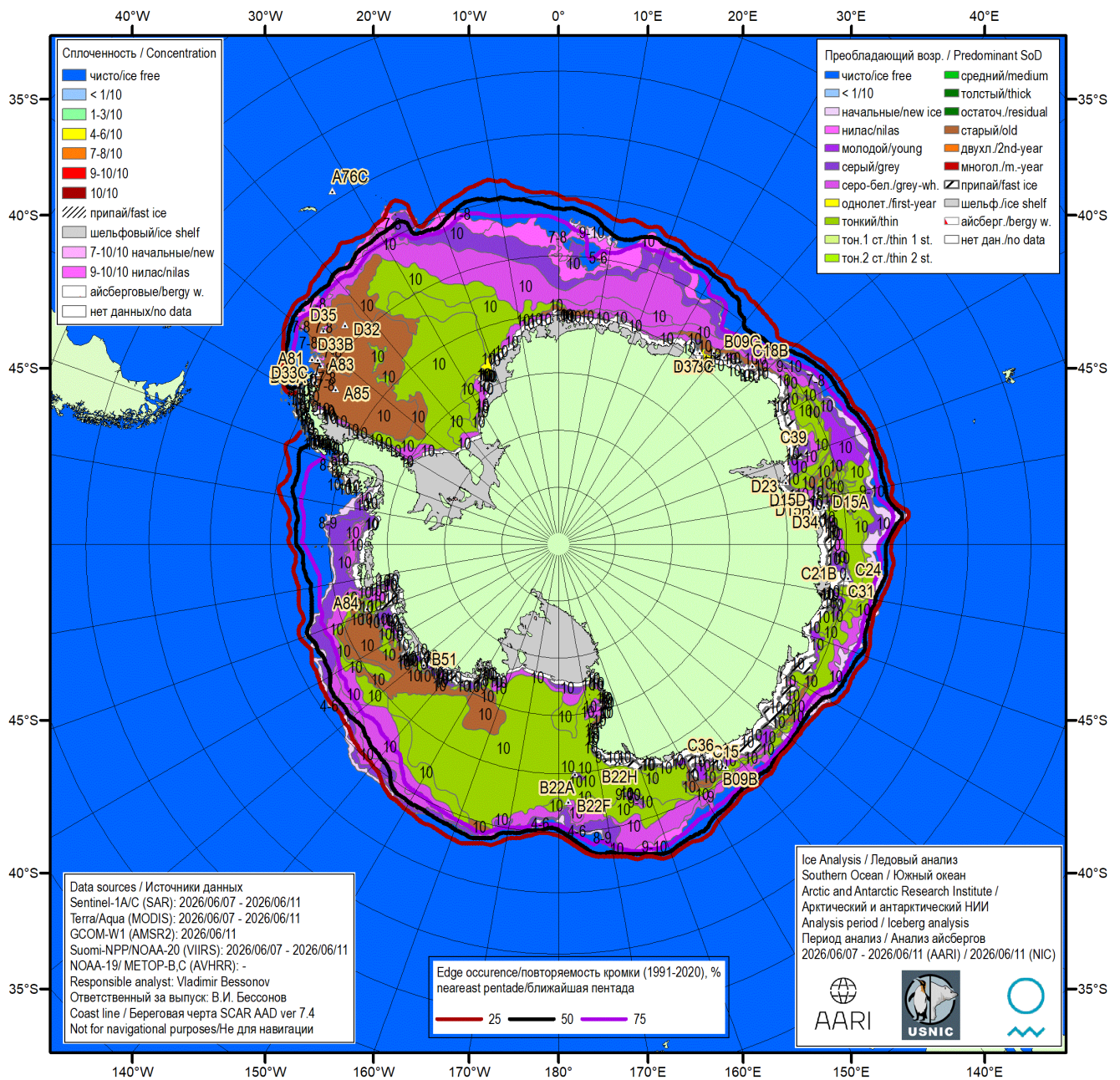


Рисунок 76 – Ледовая карта Южного океана (цветовая окраска по возрасту) и расположение крупных айсбергов на основе ледового анализа за 11.06.2026 в рамках проекта совместного ледового картирования Южного океана ААНИИ, НЛЦ США и НМИ и повторяемость кромки за ближайшую пентаду за период 1991-2020 гг. по наблюдениям SSMR-SSM/I-SSMIS (алгоритм NASATEAM) [5, 10, 17, 21].

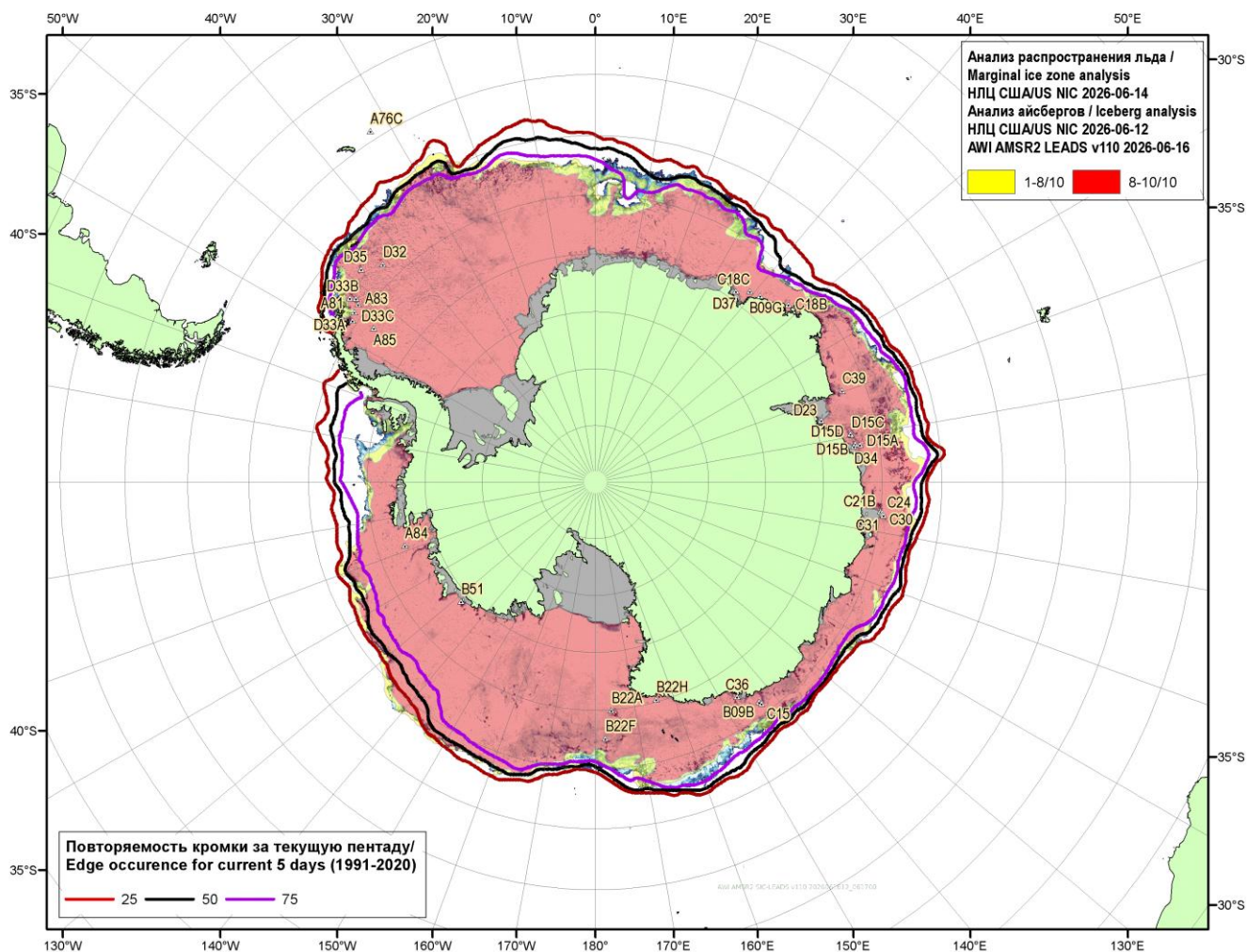


Рисунок 7в – Положение кромки льда и зон разреженных ($<8/10$) и сплоченных ($\geq 8/10$) льдов Южного океана за 14.06.2026 и расположение крупных айсбергов за 12.06.2026 на основе ледового анализа Национального Ледового Центра США, повторяемость кромки за ближайшую пентаду за период 1991-2020 гг. по наблюдениям SSMR-SSM/I-SSMIS (алгоритм NASATEAM), совмещенное с положением разрежений на основе данных ИСЗ AMSR2 за 16.06.2026 (AWI-JAXA, v110) [10, 17, 24]

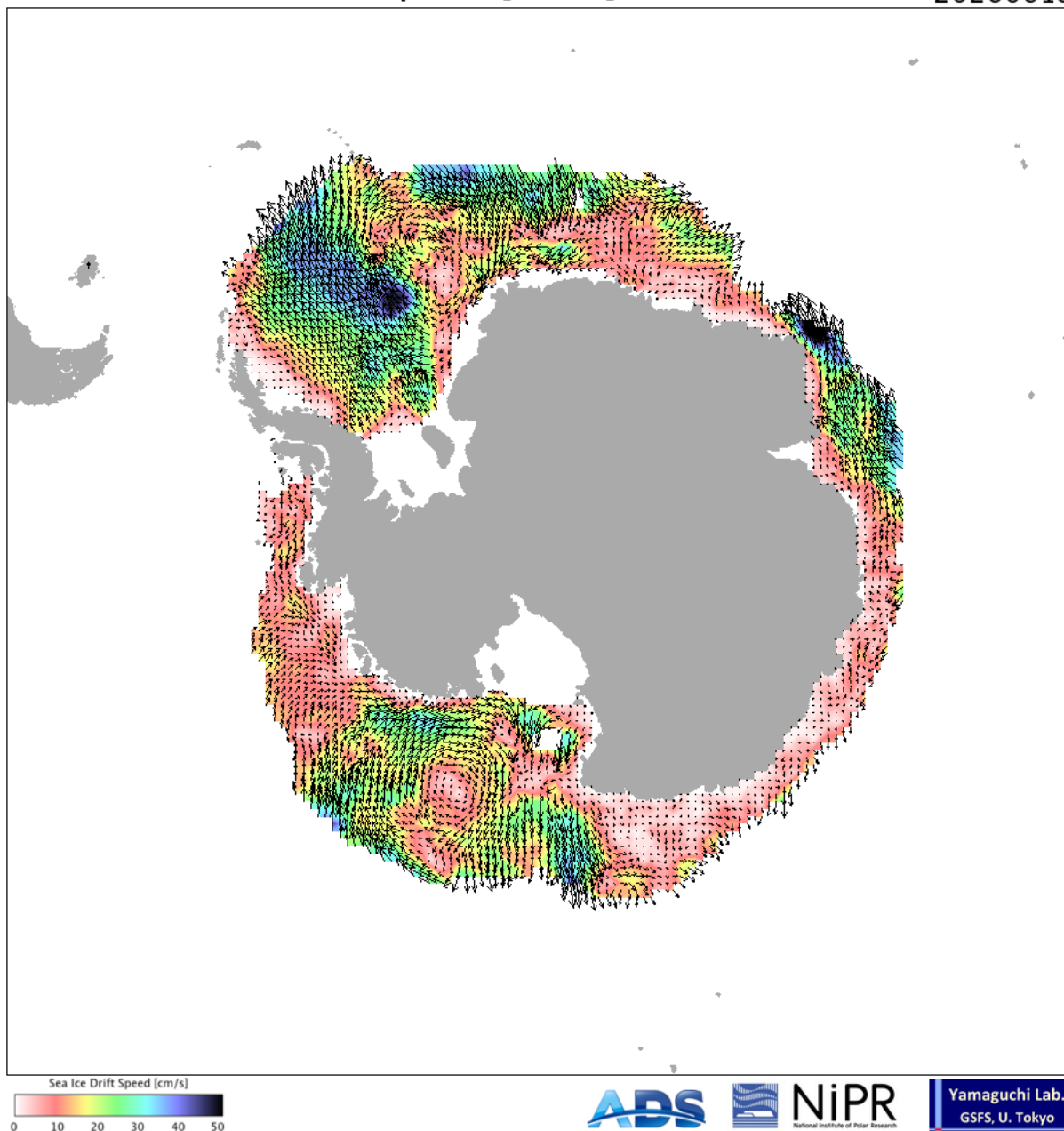


Рисунок 7г – Поле дрейфа морского льда Южного океана за последний доступный срок по данным AMSR2, источник JAXA [29]

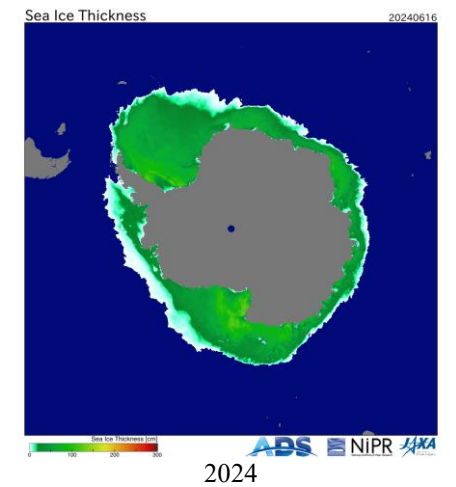
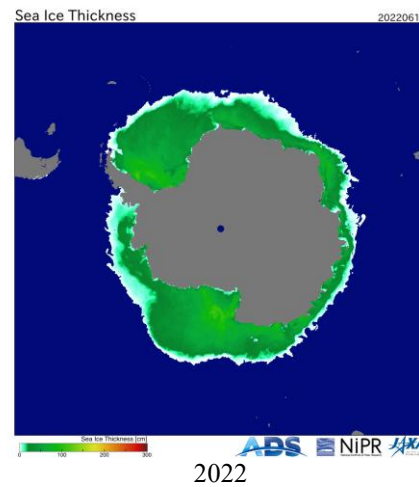
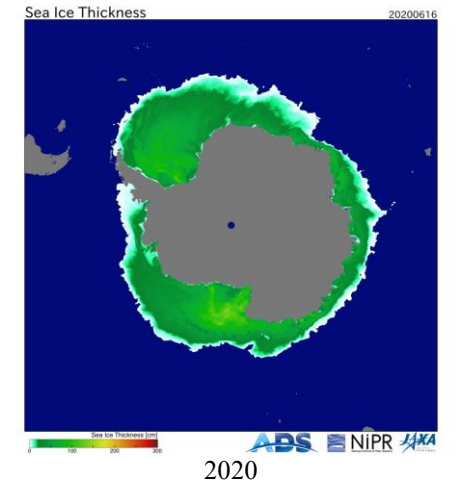
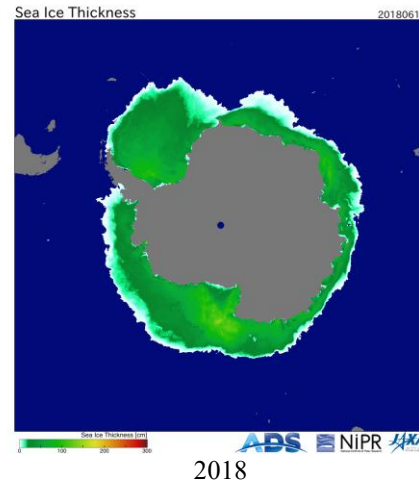
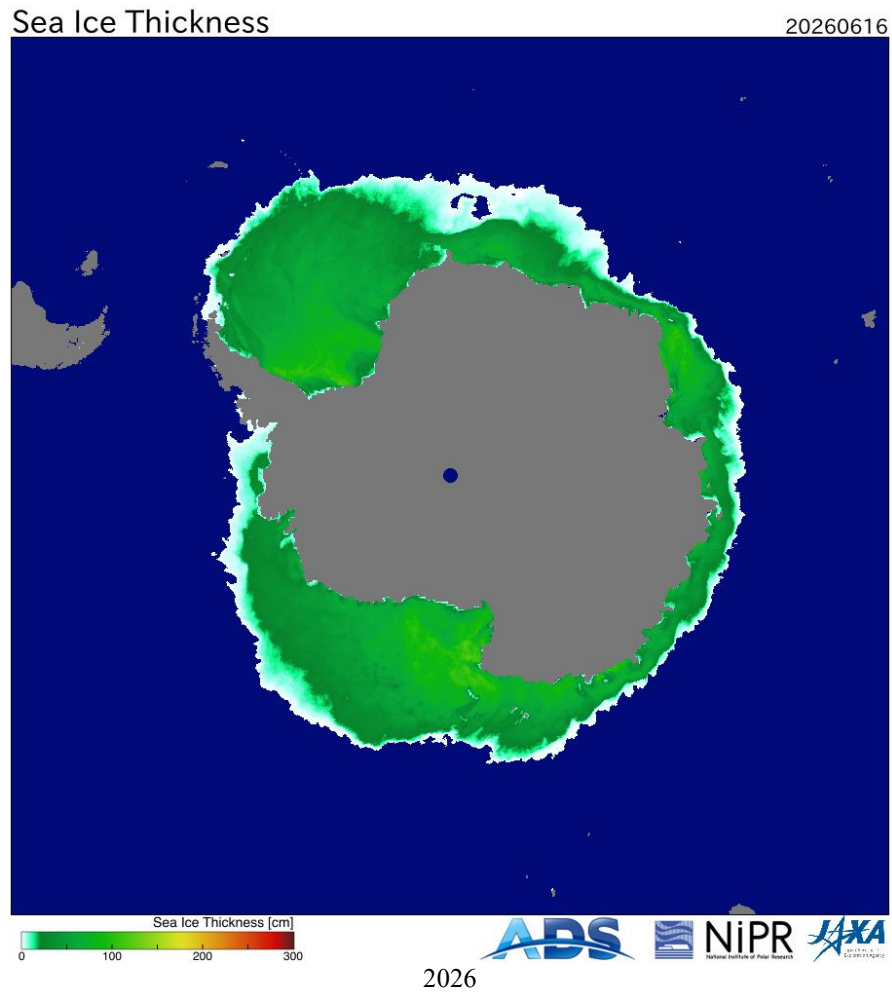


Рисунок 8а - Оценка толщины льда и степени разрушенности на основе данных пассивного микроволнового зондирования AMSR2 16.06 в 2018 – 2026 гг. [29].

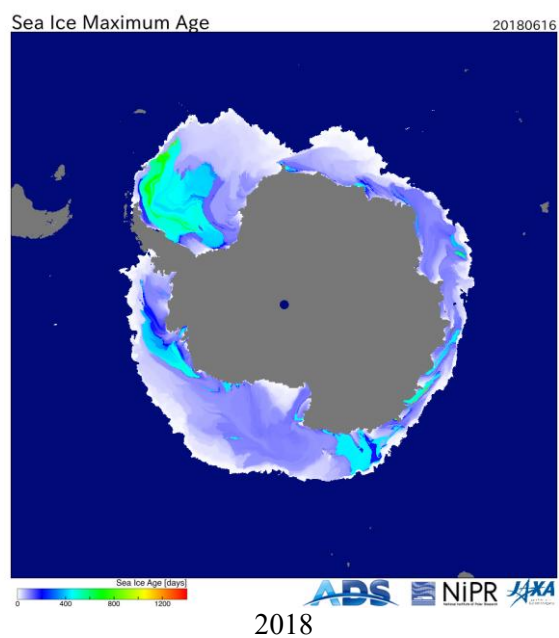
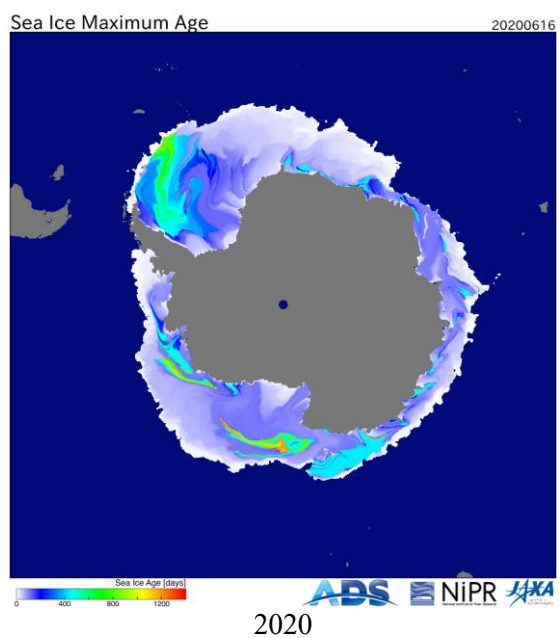
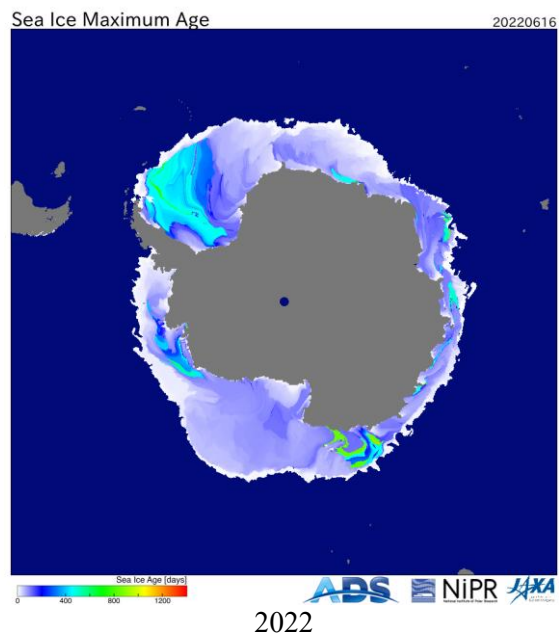
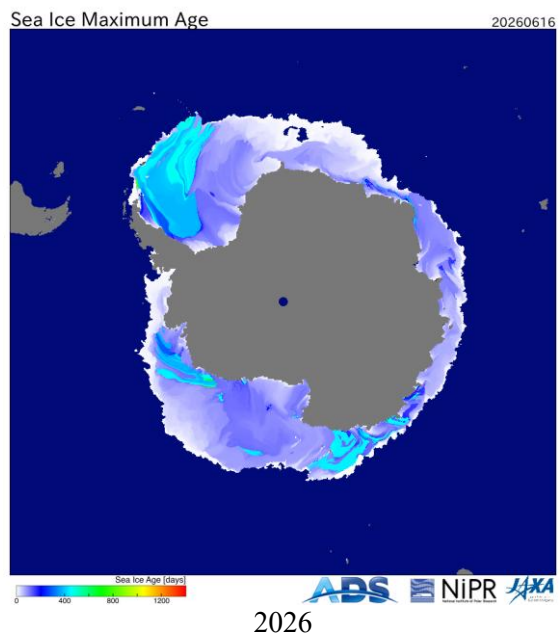


Рисунок 86 – Оценка максимального возраста льда (сутки) на 16.06 за 2018 – 2026 гг. по данным JAXA-NIPR [29]

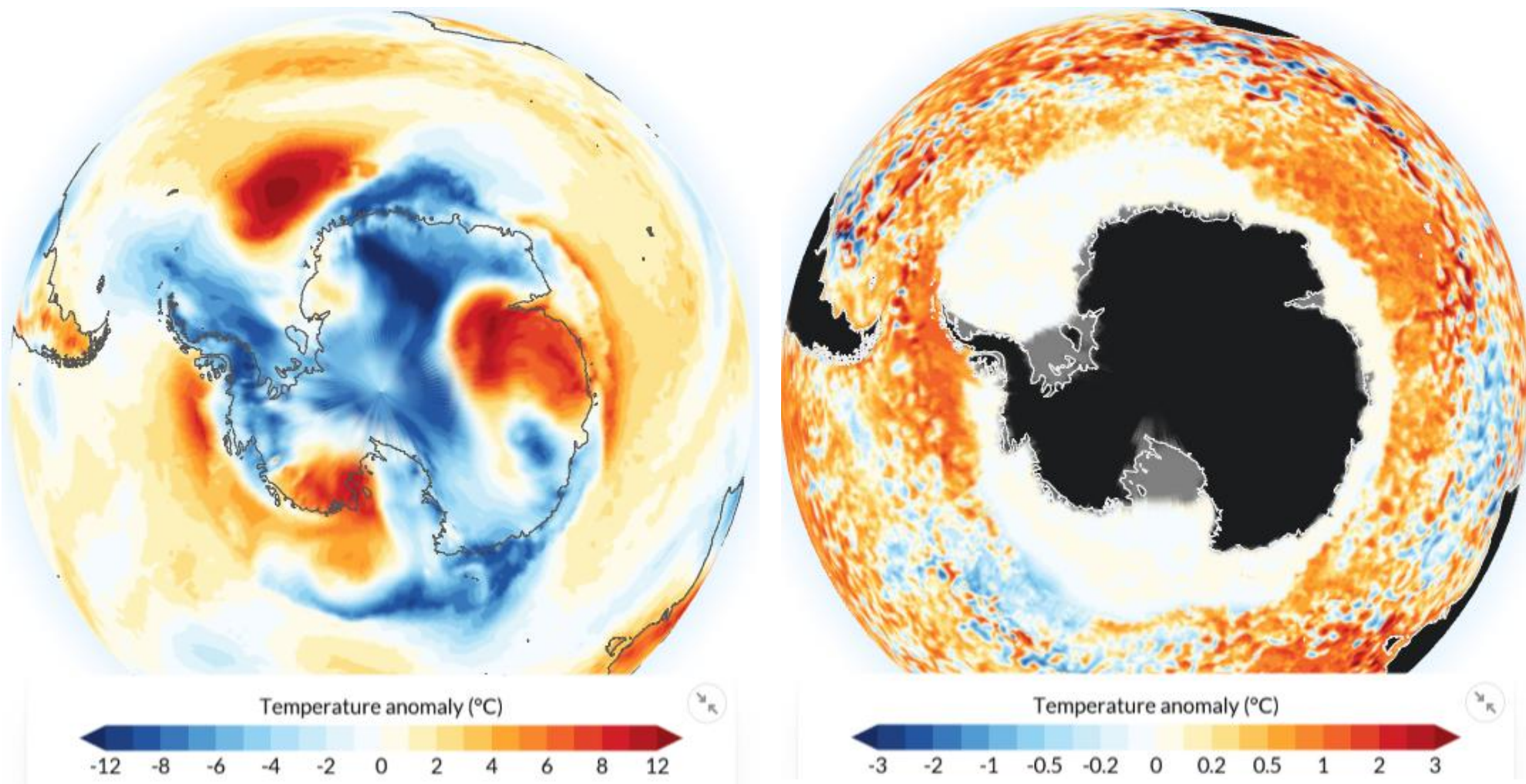
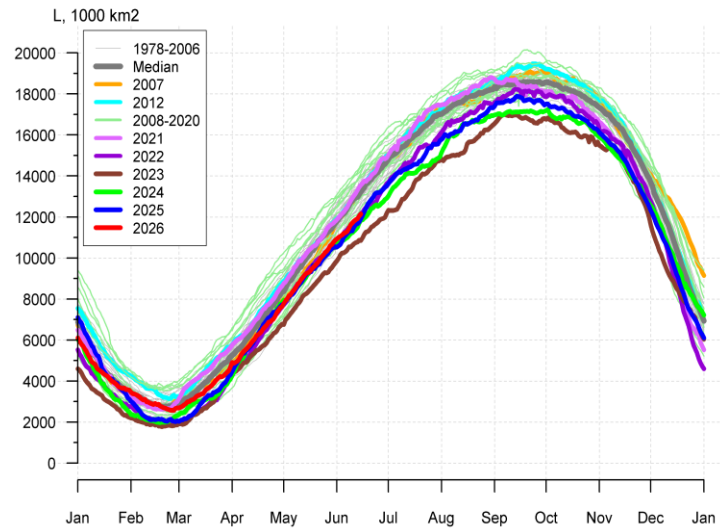


Рисунок 9 – Аномалия приземной температуры воздуха (2м) на 16.06.2026 г. относительно периода 1991-2020 гг. - The [Copernicus Climate Change Service \(C3S\)](#), implemented by the [European Centre for Medium-Range Weather Forecasts \(ECMWF\)](#) on behalf of the European Commission is part of the European Union's space programme.

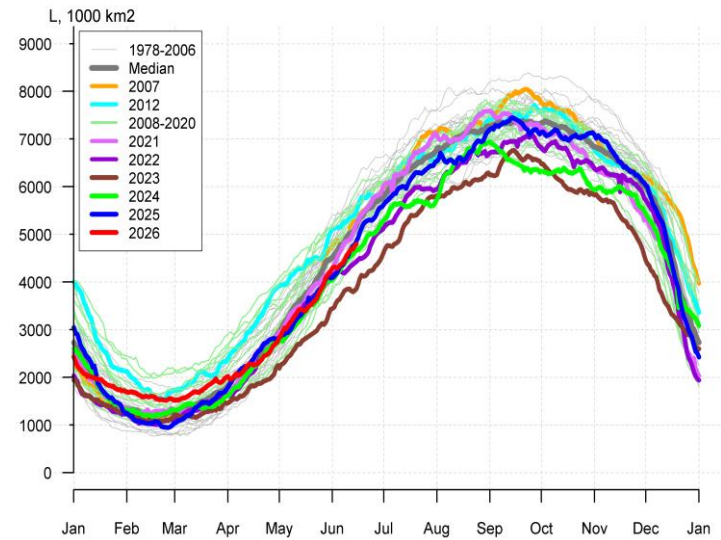
Таблица 4 – Линейные размеры и площадь крупных айсбергов Южного океана на основе анализа НЛЦ США за 03.04.2026 [11]

Имя	Длина км	Ширина км	Площадь кв.км	Имя	Длина км	Ширина км	Площадь кв.км
D15A	94.5	40.7	3049.4	A84	22.2	11.1	201.2
A81	51.9	46.3	1448.4	D15C	25.9	13.0	192.7
B22A	53.7	46.3	1436.1	A83	22.2	13.0	189.8
C36	42.6	29.6	855.8	D34	20.4	14.8	163.5
D33A	63.0	18.5	642.3	B09G	22.2	13.0	160.9
D15B	37.0	22.2	616.4	C18B	18.5	7.4	111.2
B09B	50.0	18.5	505.5	D23	13.0	11.1	110.4
D37	55.6	13.0	477.8	D32	16.7	11.1	103.7
D35	51.9	11.1	347.5	B22H	14.8	11.1	78.2
D33B	38.9	22.2	304.6	C30	16.7	5.6	76.3
A76C	29.6	13.0	297.1	C31	16.7	5.6	72.1
C21B	22.2	14.8	258.1	C39	14.8	7.4	69.8
B22F	25.9	13.0	247.8	A85	18.5	5.6	62.6
D33C	27.8	13.0	222.3	C24	20.4	5.6	62.3
C15	25.9	18.5	213.0	C18C	18.5	3.7	53.1

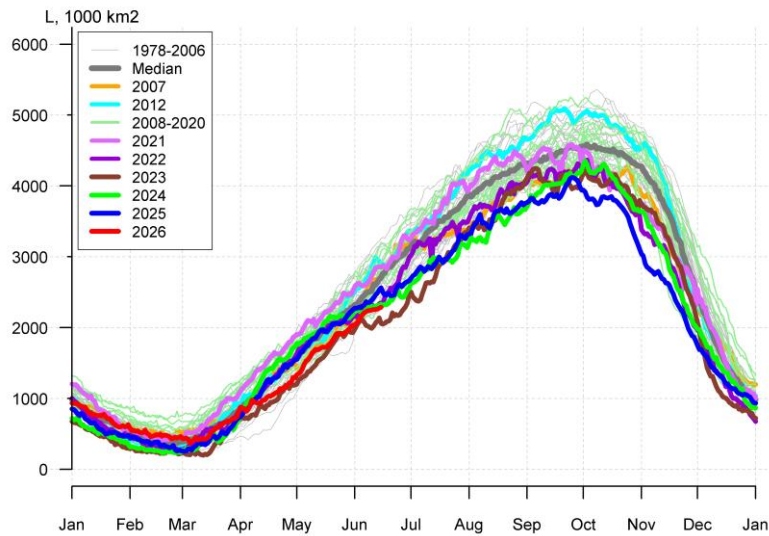
Суммарная площадь == **12630 кв. км** (06.02.2026 – 14264, 26.12.2025 - 14988, 21.11.2025 – 16405, 28.08.2025 – 17450, 18.07.2025 – 18106, 05.06.2025 – 18240, 02.05.2025 – 18445, 27.03.2025 – 18830, 21.02.2025 – 19222, 23.01.2025 – 18636 кв. км)



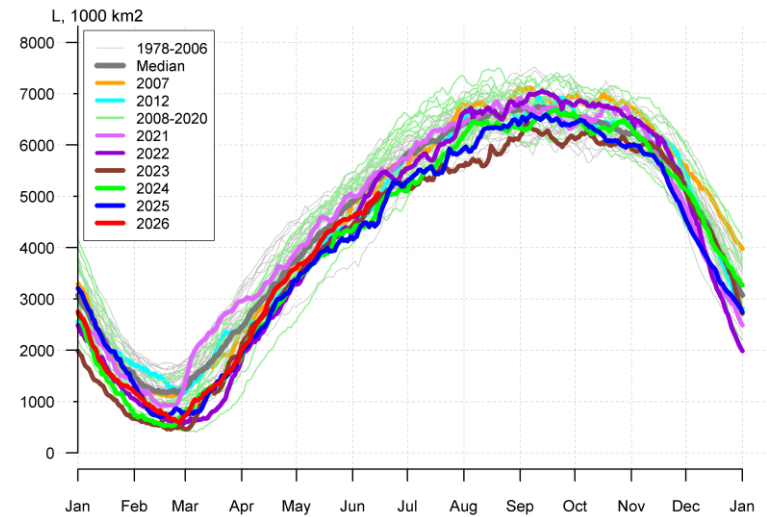
а)



б)



в)



г)

Рисунок 10а – Ежедневные оценки сезонного хода ледовитости Южного Океана и меридиональных секторов за период 26.10.1978 – последний доступный срок по годам на основе расчетов по данным SSMR-SSM/I-SSMIS, алгоритм NASATEAM: а) Южный Океан, б) Атлантический сектор (60°W-30°E, море Уэдделла), в) Индоокеанский сектор (30°E-150°E, моря Космонавтов, Содружества, Моусона), г) Тихоокеанский сектор (150°E-60°W, моря Росса, Беллинсгаузена) [13-17]

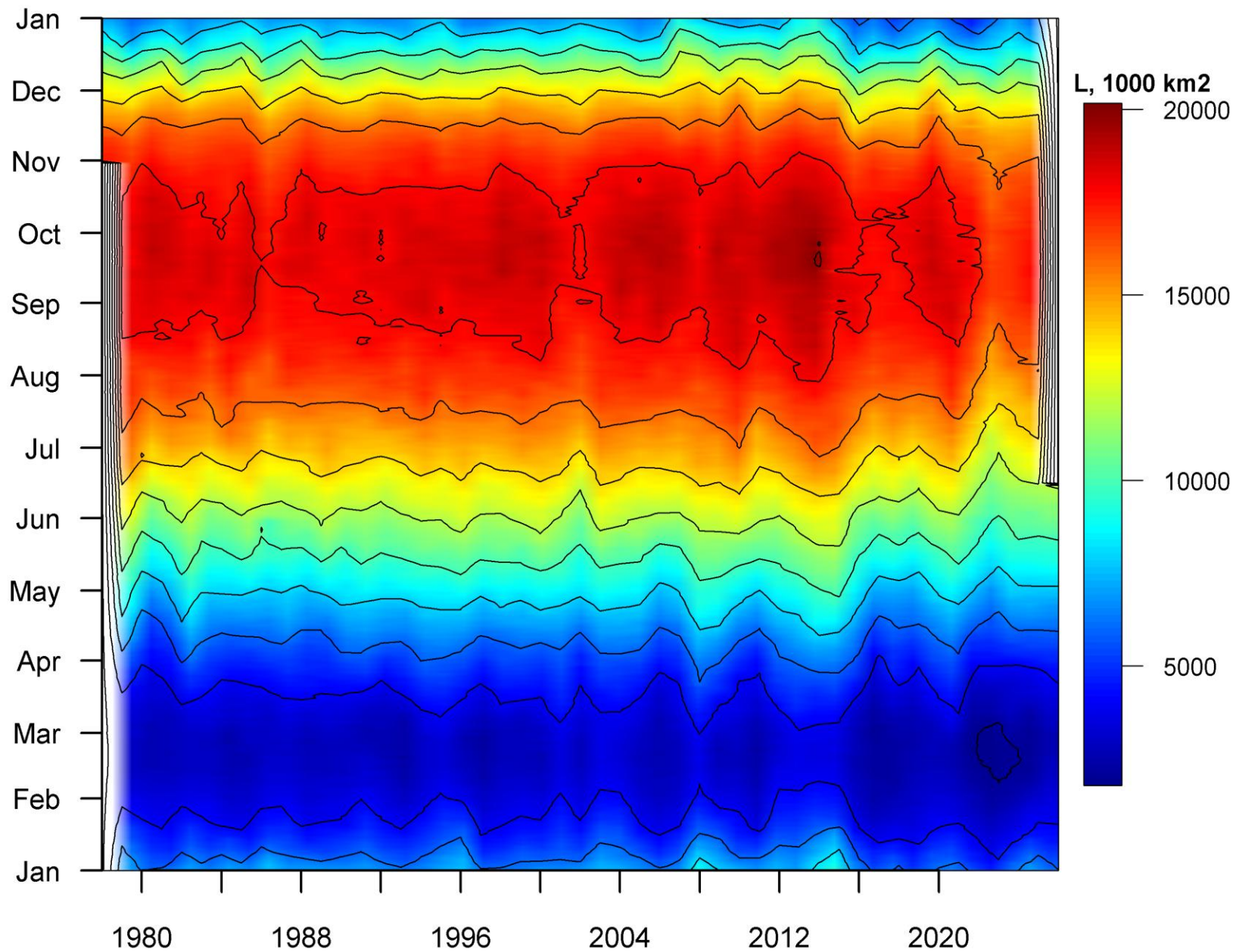


Рисунок 106 – Ежедневные оценки сезонных изменений ледовитости для Южного океана за период 26.10.1978 – последний доступный срок на основе расчетов по данным SSMR-SSM/I-SSMIS, алгоритм NASATEAM [13-17].

Таблица 5 – Медианные и экстремальные значения ледовитости для Южного океана и 3 меридиональных секторов за текущие 30 и 7-дневные интервалы и её аномалии от 2020-2024 гг. и интервалов 2015-2025 гг. и 1978-2025 гг. по данным наблюдений SSMR-SSM/I [13-17]

Южный Океан								
Месяц	S, тыс. км2	Аномалии, тыс км2/%						
		2021 г	2022 г	2023 г	2024 г	2025 г	2016-2026гг	1978-2026гг
15.05-14.06	10678.0	-1068.1	33.7	1006.8	205.5	203.4	-81.2	-829.5
		-9.1	0.3	10.4	2.0	1.9	-0.8	-7.2
08-14.06	11773.2	-1272.1	32.2	1088.8	422.1	268.7	-195.4	-972.5
		-9.8	0.3	10.2	3.7	2.3	-1.6	-7.6
Атлантический сектор (60°W-30°E, море Уэдделла)								
Месяц	S, тыс. км2	Аномалии, тыс км2/%						
		2021 г	2022 г	2023 г	2024 г	2025 г	2016-2026гг	1978-2026гг
15.05-14.06	4077.6	-217.6	94.9	740.9	95.3	7.0	9.1	-345.3
		-5.1	2.4	22.2	2.4	0.2	0.2	-7.8
08-14.06	4625.0	-305.3	323.4	797.0	111.5	2.6	-9.7	-365.1
		-6.2	7.5	20.8	2.5	0.1	-0.2	-7.3
Индокоеанский сектор (30°E-150°E, моря Космонавтов, Содружества, Моусона)								
Месяц	S, тыс. км2	Аномалии, тыс км2/%						
		2021 г	2022 г	2023 г	2024 г	2025 г	2016-2026гг	1978-2026гг
15.05-14.06	2021.3	-485.0	-125.3	95.3	-178.8	-184.0	-157.6	-277.6
		-19.4	-5.8	4.9	-8.1	-8.3	-7.2	-12.1
08-14.06	2254.4	-514.5	-50.4	205.7	-52.5	-174.6	-158.6	-337.0
		-18.6	-2.2	10.0	-2.3	-7.2	-6.6	-13.0
Тихоокеанский сектор (150°E-60°W, моря Росса, Беллинсгаузена)								
Месяц	S, тыс. км2	Аномалии, тыс км2/%						
		2021 г	2022 г	2023 г	2024 г	2025 г	2016-2026гг	1978-2026гг
15.05-14.06	4579.1	-365.5	64.1	170.6	289.0	380.4	67.3	-206.6
		-7.4	1.4	3.9	6.7	9.1	1.5	-4.3
08-14.06	4893.8	-452.2	-240.8	86.0	363.2	440.8	-27.1	-270.4
		-8.5	-4.7	1.8	8.0	9.9	-0.6	-5.2
Южный Океан								
Месяц	Минимальное знач.	Максимальное знач.	Среднее знач.	Медиана				
08-14.06	10529.1 09.06.2023	14387.5 14.06.2014	12745.7	12827.4				
Атлантический сектор (60°W-30°E, море Уэдделла)								
Месяц	Минимальное знач.	Максимальное знач.	Среднее знач.	Медиана				
08-14.06	3795.2 13.06.2023	6058.5 14.06.2003	4990.1	4992.5				
Индокоеанский сектор (30°E-150°E, моря Космонавтов, Содружества, Моусона)								
Месяц	Минимальное знач.	Максимальное знач.	Среднее знач.	Медиана				
08-14.06	1991.5 10.06.2023	3220.5 14.06.1993	2591.4	2596.6				
Тихоокеанский сектор (150°E-60°W, моря Росса, Беллинсгаузена)								
Месяц	Минимальное знач.	Максимальное знач.	Среднее знач.	Медиана				
08-14.06	3955.3 08.06.1980	6014.4 14.06.1999	5164.2	5181.0				

Таблица 6 – Динамика изменения значений ледовитости по сравнению с предыдущей неделей для морей Южного океана за 01.06 – 07.06.2026 по данным наблюдений SSMR-SSM/I-SSMIS [13-17]

Регион	Южный Океан	Атлантический сектор	Индокоеанский сектор	Тихоокеанский сектор
Разность	646.7	294.4	116.2	236.1
тыс.кв.км/сут.	92.4	42.1	16.6	33.7

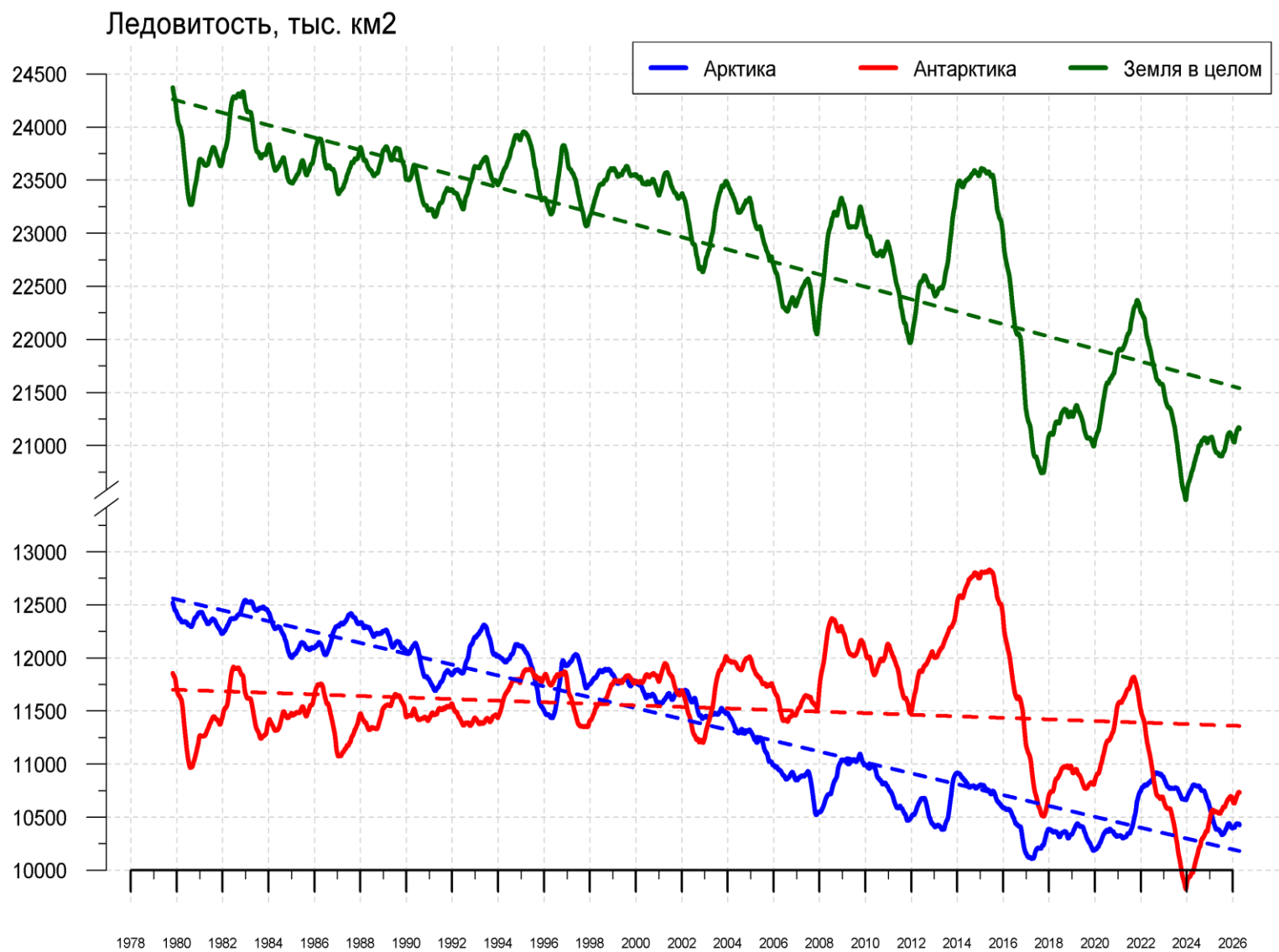


Рисунок 11а – Ежедневные сглаженные окном 365 суток значения ледовитости (площади распространения морского льда) Арктики, Антарктики и Земли в целом с 26.10.1978 по последний доступный срок на основе SSMR-SSM/I-SSMIS [13-17]

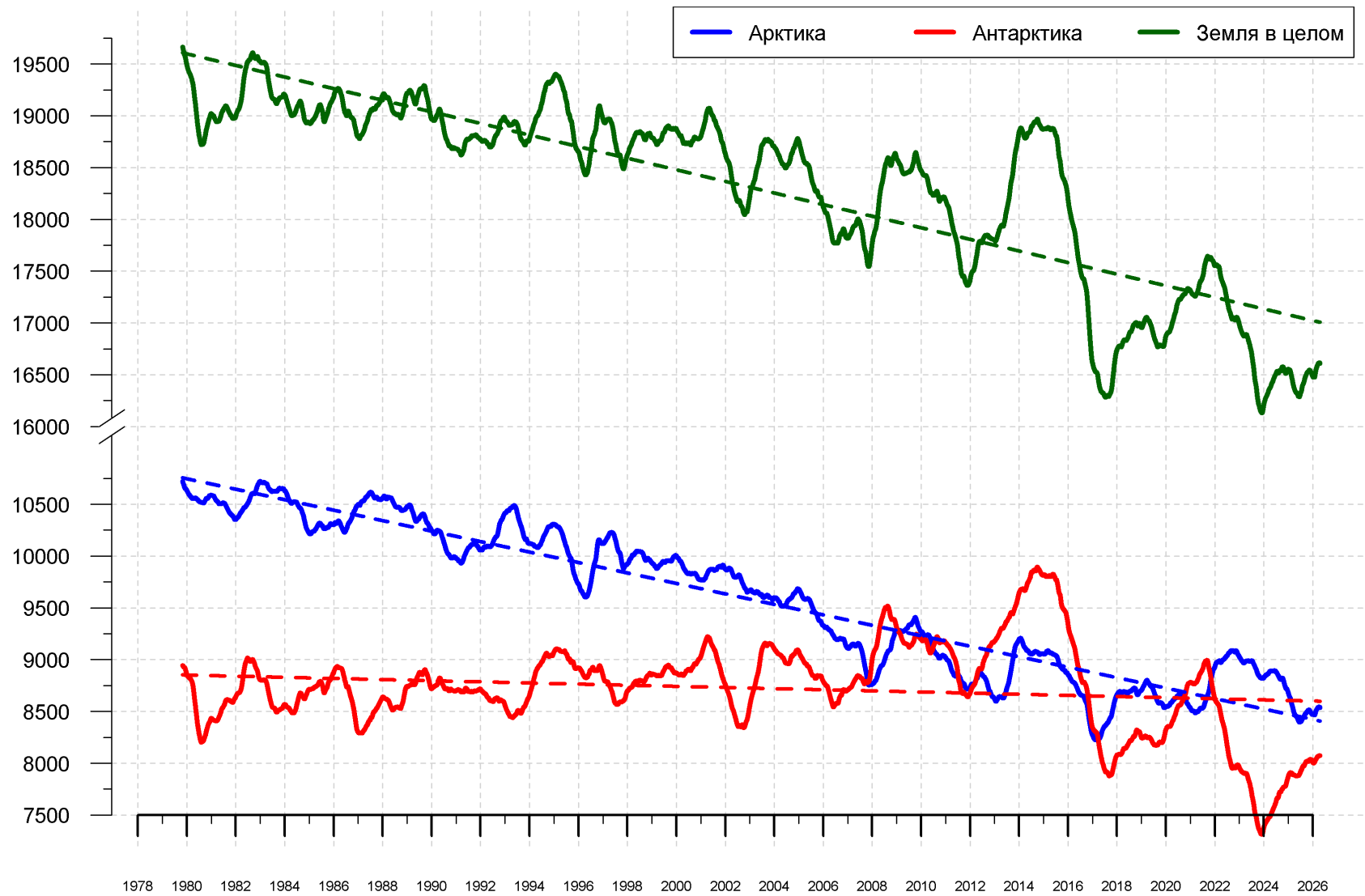


Рисунок 116 – Ежедневные сглаженные окном 365 суток значения приведенной ледовитости (площади морского льда) Арктики, Антарктики и Земли в целом с 25.10.1978 по последний доступный срок на основе SSMR-SSM/I-SSMIS [13-17]

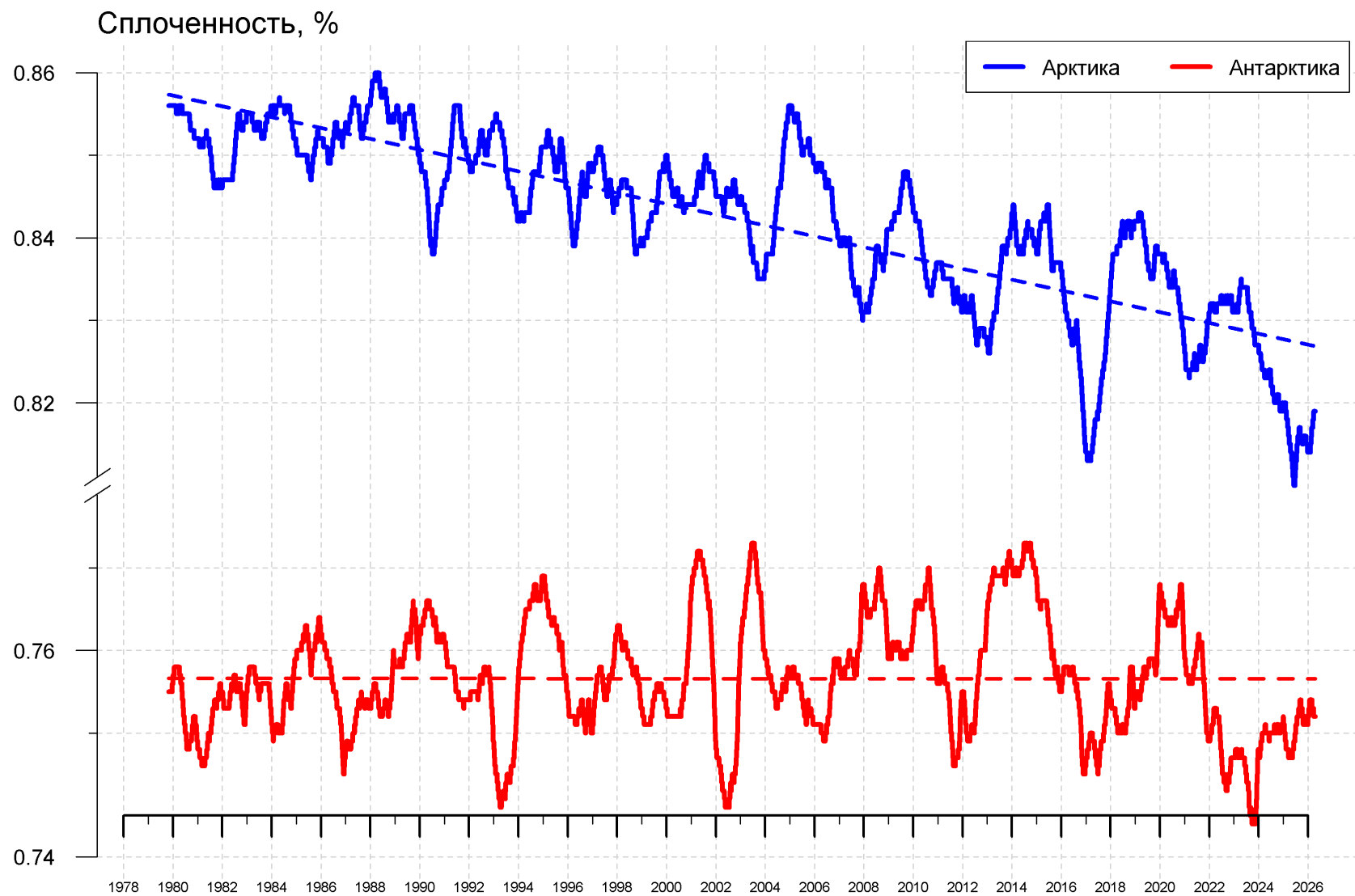


Рисунок 11в – Ежедневные сглаженные окном 365 суток значения средней общей сплоченности Арктики и Антарктики с 07.11.1978 по последний доступный срок на основе SSMR-SSM/I-SSMIS [13-17]

Приложение 1 – Статистические значения ледовитостей по отдельным акваториям Северной Полярной Области и Южного океана

Таблица 8 – Средние, аномалии среднего и экстремальные значения ледовитостей для Северной и Южной полярных областей и её отдельных акваторий за текущие 7-дневный (неделя) и 30-дневный промежутки времени по данным наблюдений SSMR-SSM/I-SSMIS, алгоритм NASATEAM за период 1978-2024 гг.

08-14.06

Регион	S, тыс. км2	Аномалии, тыс км2/%							1978-2026гг			
		2007 г	2012 г	2023 г	2024 г	2025 г	2016-2026гг	1978-2026гг	Минимум дата	Максимум дата	Среднее	Медиана
Сев. полярная область	10968.7	-742.0	-288.7	-596.5	-320.8	-155.1	-164.1	-871.2	10683.6	12937.8	11839.9	11843.5
		-6.3	-2.6	-5.2	-2.8	-1.4	-1.5	-7.4	14.06.2016	09.06.1979		
Сектор 45°W-95°E	2282.4	-609.9	-151.7	-371.5	-569.6	3.8	-239.6	-671.2	2180.7	3785.0	2953.6	2965.1
		-21.1	-6.2	-14.0	-20.0	0.2	-9.5	-22.7	14.06.2016	08.06.1981		
Гренландское море	503.4	-201.7	-214.5	-271.6	-122.2	-65.8	-85.5	-177.8	395.3	879.8	681.1	684.2
		-28.6	-29.9	-35.0	-19.5	-11.6	-14.5	-26.1	13.06.2018	12.06.1981		
Баренцево море	90.4	-245.9	-36.2	-69.6	-295.8	-49.1	-114.3	-365.6	72.5	1060.1	456.0	415.4
		-73.1	-28.6	-43.5	-76.6	-35.2	-55.8	-80.2	14.06.2016	11.06.1979		
Карское море	773.3	-44.1	240.5	103.9	-8.6	194.2	57.0	-7.7	442.7	839.2	781.0	815.6
		-5.4	45.1	15.5	-1.1	33.5	8.0	-1.0	14.06.2012	08.06.1979		
Сектор 95°E-170°W	3435.3	79.4	-75.2	4.1	27.3	60.6	87.4	-16.0	3183.5	3648.5	3451.3	3470.2
		2.4	-2.1	0.1	0.8	1.8	2.6	-0.5	13.06.1990	10.06.1980		
Море Лаптевых	656.6	74.8	43.6	19.9	31.5	98.0	55.9	19.8	507.5	674.3	636.8	653.7
		12.9	7.1	3.1	5.0	17.6	9.3	3.1	14.06.2021	08.06.1979		
Восточно-Сибирское море	892.9	-22.1	-8.9	-12.9	-17.4	-4.4	1.9	-9.0	702.7	915.1	901.9	913.9
		-2.4	-1.0	-1.4	-1.9	-0.5	0.2	-1.0	08.06.1990	08.06.1979		
Чукотское море	546.6	83.5	7.6	-9.4	-18.7	-15.8	63.0	30.2	335.9	597.3	516.4	531.0
		18.0	1.4	-1.7	-3.3	-2.8	13.0	5.9	14.06.2017	08.06.1980		
Берингово море	13.3	-21.3	-149.1	-26.9	-45.5	-42.7	-22.5	-50.6	3.0	255.0	63.9	59.1
		-61.5	-91.8	-66.9	-77.4	-76.2	-62.8	-79.2	13.06.2018	08.06.2012		
Сектор 170°W-45°W	5251.0	-211.5	-61.8	-229.2	221.5	-219.5	-12.0	-184.1	4749.6	5914.5	5435.0	5433.0
		-3.9	-1.2	-4.2	4.4	-4.0	-0.2	-3.4	11.06.2019	08.06.1984		
Море Бофорта	480.4	20.0	110.4	15.3	86.8	-6.2	54.5	30.8	224.1	486.6	449.6	474.1
		4.4	29.8	3.3	22.0	-1.3	12.8	6.9	10.06.2019	08.06.1980		
Гудзонов залив	678.8	-101.0	-87.0	63.8	245.5	-25.6	-1.3	-53.4	413.1	837.4	732.3	754.4
		-12.9	-11.4	10.4	56.7	-3.6	-0.2	-7.3	13.06.2024	09.06.1992		
Море Лабрадор	11.3	-94.4	-42.2	-74.6	-4.5	-65.4	-37.4	-68.2	3.1	232.6	79.5	75.3
		-89.3	-78.9	-86.9	-28.7	-85.3	-76.8	-85.8	12.06.2021	08.06.1985		
Дейвисов пролив	268.8	-62.7	-19.7	-112.0	-1.4	-38.0	-27.4	-45.2	212.9	421.3	314.1	313.7
		-18.9	-6.8	-29.4	-0.5	-12.4	-9.3	-14.4	13.06.2021	09.06.1984		
Канадский архипелаг	1098.2	-34.5	-43.8	12.8	67.0	15.9	-6.3	-38.6	1004.6	1190.1	1136.9	1146.2
		-3.0	-3.8	1.2	6.5	1.5	-0.6	-3.4	14.06.2010	08.06.1989		

15.05-14.06

Регион	S, тыс. км2	Аномалии, тыс км2/%							1978-2026гг			
		2007 г	2012 г	2023 г	2024 г	2025 г	2016-2026гг	1978-2026гг	Минимум дата	Максимум дата	Среднее	Медиана
Сев. полярная область	11673.2	-598.4	-618.6	-621.8	-515.2	-261.9	-194.4	-822.9	10683.6	14260.1	12496.2	12532.4
		-4.9	-5.0	-5.1	-4.2	-2.2	-1.6	-6.6	14.06.2016	15.05.1985		
Сектор 45°W-95°E	2579.9	-369.3	-161.4	-299.5	-501.7	-88.6	-191.7	-545.1	2180.7	4127.3	3125.0	3126.7
		-12.5	-5.9	-10.4	-16.3	-3.3	-6.9	-17.4	14.06.2016	15.05.1981		
Гренландское море	578.6	-117.7	-165.8	-218.5	-109.8	-86.0	-61.4	-127.6	395.3	925.8	706.2	705.3
		-16.9	-22.3	-27.4	-16.0	-12.9	-9.6	-18.1	13.06.2018	17.05.1981		
Баренцево море	206.8	-163.3	-26.6	-63.9	-302.9	-55.4	-115.8	-338.6	72.5	1162.4	545.5	536.8
		-44.1	-11.4	-23.6	-59.4	-21.1	-35.9	-62.1	14.06.2016	16.05.1979		
Карское море	819.8	-10.4	115.9	71.3	-3.9	125.5	42.8	9.7	442.7	839.2	810.1	837.0
		-1.3	16.5	9.5	-0.5	18.1	5.5	1.2	14.06.2012	15.05.1979		
Сектор 95°E-170°W	3493.3	-43.9	-341.0	-58.3	-57.2	41.7	11.6	-121.4	3183.5	4422.7	3614.6	3586.6
		-1.2	-8.9	-1.6	-1.6	1.2	0.3	-3.4	13.06.1990	15.05.1980		
Море Лаптевых	659.8	58.2	12.9	7.6	-1.2	76.7	24.1	4.8	507.5	674.3	655.0	672.3
		9.7	2.0	1.2	-0.2	13.2	3.8	0.7	14.06.2021	15.05.1979		
Восточно-Сибирское море	888.6	-24.8	-23.4	-24.1	-25.5	-21.5	-14.7	-19.0	702.7	915.1	907.5	915.1
		-2.7	-2.6	-2.6	-2.8	-2.4	-1.6	-2.1	08.06.1990	15.05.1979		
Чукотское море	555.5	15.3	-23.9	-25.7	-25.2	-29.7	33.7	2.2	335.9	597.3	553.2	572.8
		2.8	-4.1	-4.4	-4.3	-5.1	6.5	0.4	14.06.2017	15.05.1979		
Берингово море	81.0	-80.0	-354.3	-71.4	-72.6	-32.9	-13.7	-85.4	3.0	707.1	166.4	123.3
		-49.7	-81.4	-46.9	-47.3	-28.9	-14.5	-51.3	13.06.2018	16.05.2012		
Сектор 170°W-45°W	5600.1	-185.3	-116.2	-264.0	43.7	-215.1	-14.3	-156.5	4749.6	6478.8	5756.6	5786.4
		-3.2	-2.0	-4.5	0.8	-3.7	-0.3	-2.7	11.06.2019	16.05.1984		
Море Бофорта	472.2	-8.4	52.4	-7.0	19.2	-14.4	24.0	6.8	224.1	486.6	465.4	484.7
		-1.7	12.5	-1.5	4.2	-3.0	5.4	1.5	10.06.2019	15.05.1979		
Гудзонов залив	783.7	-32.9	-28.9	29.3	182.8	5.1	23.1	-5.7	413.1	839.0	789.4	810.9
		-4.0	-3.6	3.9	30.4	0.7	3.0	-0.7	13.06.2024	15.05.1980		
Море Лабрадор	26.7	-131.0	-82.4	-84.0	-25.0	-67.4	-55.9	-91.9	3.1	372.0	118.6	109.3
		-83.1	-75.6	-75.9	-48.4	-71.6	-67.7	-77.5	12.06.2021	16.05.1984		
Дейвисов пролив	276.2	-77.6	-56.0	-109.7	-30.0	-75.3	-56.6	-75.9	212.9	522.9	352.1	345.9
		-21.9	-16.9	-28.4	-9.8	-21.4	-17.0	-21.6	13.06.2021	16.05.1982		
Канадский архипелаг	1144.6	1.4	-25.8	16.5	18.6	13.7	0.3	-17.5	1004.6	1190.1	1162.1	1171.6
		0.1	-2.2	1.5	1.7	1.2	0.0	-1.5	14.06.2010	15.05.1981		

08-14.06

Регион	S, тыс. км2	Аномалии, тыс км2/%							1978-2026гг			
		2007 г	2012 г	2023 г	2024 г	2025 г	2016-2026гг	1978-2026гг	Минимум дата	Максимум дата	Среднее	Медиана
Южный Океан	11773.2	-1023.7	-1172.5	1088.8	422.1	268.7	-195.4	-972.5	10529.1	14387.5	12745.7	12827.4
		-8.0	-9.1	10.2	3.7	2.3	-1.6	-7.6	09.06.2023	14.06.2014		
Атлантический сектор	4625.0	-457.2	-707.7	797.0	111.5	2.6	-9.7	-365.1	3795.2	6058.5	4990.1	4992.5
		-9.0	-13.3	20.8	2.5	0.1	-0.2	-7.3	13.06.2023	14.06.2003		
Западная часть моря Уэдделла	2193.9	-172.7	-99.1	286.4	-206.9	-3.7	13.6	-62.3	1858.9	2614.8	2256.2	2260.7
		-7.3	-4.3	15.0	-8.6	-0.2	0.6	-2.8	14.06.1999	14.06.1991		
Восточная часть моря Уэдделла	2431.0	-284.5	-608.6	510.7	318.3	6.3	-23.3	-302.8	1858.0	3611.1	2733.9	2744.1
		-10.5	-20.0	26.6	15.1	0.3	-0.9	-11.1	14.06.2023	14.06.2003		
Индоокеанский сектор	2254.4	-382.4	-618.6	205.7	-52.5	-174.6	-158.6	-337.0	1991.5	3220.5	2591.4	2596.6
		-14.5	-21.5	10.0	-2.3	-7.2	-6.6	-13.0	10.06.2023	14.06.1993		
Море Космонавтов	346.3	-171.9	-256.0	41.9	-68.4	87.8	-47.7	-111.7	186.9	863.3	458.1	430.8
		-33.2	-42.5	13.7	-16.5	34.0	-12.1	-24.4	09.06.1987	09.06.1989		
Море Содружества	796.6	-179.1	-112.1	29.1	82.0	-137.9	-47.3	-122.5	631.5	1166.6	919.1	932.1
		-18.4	-12.3	3.8	11.5	-14.8	-5.6	-13.3	14.06.2022	14.06.1998		
Море Моусона	1111.5	-31.4	-250.5	134.8	-66.1	-124.6	-63.6	-102.7	915.8	1573.1	1214.3	1213.1
		-2.7	-18.4	13.8	-5.6	-10.1	-5.4	-8.5	08.06.1980	14.06.2014		
Тихоокеанский сектор	4893.8	-184.1	153.9	86.0	363.2	440.8	-27.1	-270.4	3955.3	6014.4	5164.2	5181.0
		-3.6	3.2	1.8	8.0	9.9	-0.6	-5.2	08.06.1980	14.06.1999		
Море Росса	4683.2	79.0	669.7	321.7	989.0	355.5	315.1	215.3	2978.6	5279.1	4467.9	4515.9
		1.7	16.7	7.4	26.8	8.2	7.2	4.8	08.06.1980	14.06.2009		
Море Беллинсгаузена	210.6	-263.0	-515.8	-235.7	-625.9	85.2	-342.2	-485.7	95.4	1434.3	696.3	683.4
		-55.5	-71.0	-52.8	-74.8	68.0	-61.9	-69.8	13.06.2025	14.06.1991		

15.05-14.06

Регион	S, тыс. км2	Аномалии, тыс км2/%							1978-2026гг			
		2007 г	2012 г	2023 г	2024 г	2025 г	2016-2026гг	1978-2026гг	Минимум дата	Максимум дата	Среднее	Медиана
Южный Океан	10678.0	-692.8	-1035.8	1006.8	205.5	203.4	-81.2	-829.5	8319.9	14387.5	11507.4	11493.7
		-6.1	-8.8	10.4	2.0	1.9	-0.8	-7.2	15.05.2023	14.06.2014		
Атлантический сектор	4077.6	-428.2	-794.6	740.9	95.3	7.0	9.1	-345.3	2785.0	6058.5	4422.8	4437.3
		-9.5	-16.3	22.2	2.4	0.2	0.2	-7.8	15.05.2023	14.06.2003		
Западная часть моря Уэдделла	2195.9	-29.8	-20.9	412.5	-68.9	125.8	83.6	29.4	1658.3	2614.8	2166.5	2182.3
		-1.3	-0.9	23.1	-3.0	6.1	4.0	1.4	15.05.2023	14.06.1991		
Восточная часть моря Уэдделла	1881.7	-398.4	-773.7	328.4	164.2	-118.9	-74.5	-374.6	964.4	3611.1	2256.4	2265.9
		-17.5	-29.1	21.1	9.6	-5.9	-3.8	-16.6	15.05.2018	14.06.2003		
Индоокеанский сектор	2021.3	-171.2	-394.1	95.3	-178.8	-184.0	-157.6	-277.6	1543.7	3220.5	2298.9	2276.5
		-7.8	-16.3	4.9	-8.1	-8.3	-7.2	-12.1	15.05.1980	14.06.1993		
Море Космонавтов	273.1	-118.2	-172.7	14.4	-100.8	63.0	-43.3	-93.7	145.3	863.3	366.8	340.5
		-30.2	-38.7	5.6	-27.0	30.0	-13.7	-25.5	15.05.1980	09.06.1989		
Море Содружества	722.9	-86.2	-88.0	52.8	4.4	-113.1	-47.5	-98.6	517.2	1166.6	821.5	818.6
		-10.7	-10.9	7.9	0.6	-13.5	-6.2	-12.0	15.05.2023	14.06.1998		
Море Моусона	1025.3	33.2	-133.5	28.1	-82.4	-133.9	-66.8	-85.3	661.1	1573.1	1110.5	1100.6
		3.3	-11.5	2.8	-7.4	-11.6	-6.1	-7.7	15.05.1980	14.06.2014		
Тихоокеанский сектор	4579.1	-93.3	153.0	170.6	289.0	380.4	67.3	-206.6	3302.6	6014.4	4785.7	4799.2
		-2.0	3.5	3.9	6.7	9.1	1.5	-4.3	15.05.1980	14.06.1999		
Море Росса	4403.2	109.1	467.2	353.6	803.9	350.6	359.6	202.3	2476.8	5279.1	4200.9	4221.3
		2.5	11.9	8.7	22.3	8.7	8.9	4.8	15.05.1980	14.06.2009		
Море Беллинсгаузена	176.0	-202.5	-314.3	-183.0	-514.9	29.8	-292.3	-408.9	66.3	1434.3	584.8	572.8
		-53.5	-64.1	-51.0	-74.5	20.4	-62.4	-69.9	30.05.2025	14.06.1991		

Таблица 10 – Динамика изменения значений ледовитости по сравнению с предыдущей неделей для морей Северной полярной области и Южного океана за текущий 7-дневный (неделя) промежуток времени по данным наблюдений SSMIS

08-14.06

Регион	Сев. полярная область	Сектор 45°W-95°E	Гренландское море	Баренцево море
Разность	-441.0	-220.9	-68.5	-49.2
тыс.кв.км/ сут.	-63.0	-31.6	-9.8	-7.0

08-14.06

Регион	Карское море	Сектор 95°E-170°W	Море Лаптевых	Восточно-Сибирское море
Разность	-47.0	-4.9	-2.7	11.7
тыс.кв.км/ сут.	-6.7	-0.7	-0.4	1.7

08-14.06

Регион	Чукотское море	Берингово море	Сектор 170°W-45°W	Море Бофорта
Разность	6.1	-18.7	-215.2	13.3
тыс.кв.км/ сут.	0.9	-2.7	-30.7	1.9

08-14.06

Регион	Гудзонов залив	Море Лабрадор	Дейвисов пролив	Канадский архипелаг
Разность	-113.0	2.5	-3.1	-25.4
тыс.кв.км/ сут.	-16.1	0.4	-0.4	-3.6

08-14.06

Регион	Южный Океан	Атлантический сектор	Западная часть моря Уэдделла	Восточная часть моря Уэдделла
Разность	646.7	294.4	-62.1	356.5
тыс.кв.км/ сут.	92.4	42.1	-8.9	50.9

08-14.06

Регион	Индоокеанский сектор	Море Космонавтов	Море Содружества	Море Моусона
Разность	116.2	20.5	26.9	68.8
тыс.кв.км/ сут.	16.6	2.9	3.8	9.8

08-14.06

Регион	Тихоокеанский сектор	Море Росса	Море Беллинсгаузена	
Разность	236.1	140.7	95.3	
тыс.кв.км/ сут.	33.7	20.1	13.6	

Характеристика исходного материала и методика расчетов

Для иллюстрации ледовых условий Арктического региона представлены совмещенные региональные карты ААНИИ [4, 6], Канадской ледовой службы – КЛС [12], Национального ледового центра США – НЛЦ [10], Ледовой службы отделения Аляска НОАА [23] и НИЦ Планета [9]. Совмещение карт выполнено путем перекрытия слоев отдельных ледовых служб в зависимости от времени ледового анализа. Карты ААНИИ характеризуют ледовые условия морей Гренландского...Бофорта, карты НИЦ Планета – Азовского, Каспийского, Берингова, Охотского, Японского, карты НЛЦ – Северных частей Тихого и Атлантического океанов и Арктического бассейна, вод Гренландии, Ледовой службы отделения Аляска НОАА – Берингово, Чукотское моря, КЛС - морей Бофорта, Канадского архипелага, Баффина, Девисова пролива, Лабрадор, Св. Лаврентия. Для ледовых условий и распределения айсбергов Южного океана использованы данные проекта по интегрированному ледовому анализу Южного океана – циркумполярные карты ААНИИ [5, 7], НЛЦ [10, 11] и карты акватории Антарктического полуострова Норвежского метеорологического института (НМИ) [21]. Для построения совмещенных карт используется архив данных в обменном формате ВМО СИГРИД-3 [18] Мирового центра данных по морскому льду (МЦД МЛ) – проекта ВМО «Глобальный Банк Цифровых Данных по Морскому Льду». В пределах отдельного срока выборка карт из архива проводится по критериям близости карт к сроку выпуска карты ААНИИ с максимальным интервалом времени между картами до 7 суток (день недели выпуска карт ААНИИ – вторник, Ледовой службы отделения Аляска НОАА – ежедневно, НИЦ Планета – понедельник-четверг, КЛС – понедельник, НЛЦ – четверг/пятница для морского льда и четверг/пятница – для крупных айсбергов Южного океана, НМИ - понедельник).

Для иллюстрации полей толщин льда СЛО использованы ежедневные данные по распределению средневзвешенной толщины льда численной модели НУСОМ-CICE Датского метеорологического института (ДМИ) [20]. Численная модель НУСОМ-CICE имеет разрешение 10x10 км и является совместной моделью морского льда – океана. Портал полярных данных ДМИ [22] используется также как источник данных по оценке объема льда СЛО, температуры поверхности океана/морского льда, аномалий температуры воздуха и поля приземного ветра.

Для иллюстрации ледовых условий Северной Полярной области и Южного океана за последние сутки используются ежедневные циркумполярные ледовые информационные продукты НЛЦ США по оценке расположения кромки льда и ледяных массивов - MIZ (Marginal Ice Zone).

Для цветовой окраски карт использован стандарт ВМО (WMO/Td. 1215) [19] для зимнего (по возрасту) и летнего (по общей сплоченности) периодов. Следует также отметить, что в зонах стыковки карт ААНИИ, Ледовой службы отделения Аляска НОАА, КЛС и НЛЦ наблюдается определенная несогласованность границ и характеристик ледовых зон вследствие ряда различий в ледовых информационных системах подготавливающих служб. Однако, данная несогласованность несущественна для целей интерпретации ледовых условий в рамках настоящего обзора.

Для оценки распределения толщин льда в морях СМП использованы совмещенные недельные данные дистанционного зондирования ИСЗ Cryosat-2 и Sentinel-3A,B (радиолокационная альтиметрия) и SMOS (пассивное микроволновое зондирование), подготавливаемые Институтом полярных исследований им. А.Вегенера (AWI) [24, 27, 28] и ежедневные данные JAXA [29] на основе ИСЗ AMSR2 (пассивное микроволновое зондирование). Указанный источник [29] также использован для представления информации по дрейфу и возрасту морского льда СЛО и Южного океана.

Для получения оценок ледовитости (extent) и приведенной ледовитости – площади льда (area) отдельных секторов, морей, частей морей Северной полярной области и Южного океана и климатического положения кромок заданной повторяемости на основе данных спутниковых

систем пассивного микроволнового зондирования SSMR-SSM/I-SSMIS [17] и AMSR2 [30] в МЦД МЛ АНИИ принята следующая технология расчетов:

- источник данных – архивные и квазиоперативные с задержкой 1-2 дня ежедневные матрицы (поля распределения) оценок общей сплоченности Северной (севернее 45° с.ш.) и Южной (южнее 50° с.ш.) Полярных областей на основе обработанных по алгоритму NASATEAM данных многоканальных микроволновых радиометров SSMR-SSM/I-SSMIS-AMSR2 за период с 26.10.1978 г. по настоящий момент времени [13, 14, 15, 30], копируемые с сервера НЦДСЛ;
- область расчета – Северная и Южная Полярные области и их регионы с использованием масок океан/суша НЦДСЛ (http://nsidc.org/data/polar_stereo/tools_masks.html);
- границы используемых масок расчета отдельных меридиональных секторов, морей, частей морей Северной полярной области и Южного океана представлены на рисунках П1 – П6 в полярной равноплощадной проекции Ламберта [26], не совпадают с используемыми в НЦДСЛ масками для отдельных акваторий Мирового океана и основаны на цифровой основе Международной гидрографической организации [25], повторяющей по номенклатуре, но не совпадающей по границам (вследствие отсутствия цифросновы) публикациям «Атлас Северного ледовитого океана (1980)» и «Атлас океанов» [1, 2, 3].
- вычислительные особенности расчета – авторское программное обеспечение АНИИ с сохранением точности расчетов и оценке статистических параметров по гистограмме распределения и свободно-распространяемое программное обеспечение GDAL для векторизации полей климатических параметров;

В графическом формате PNG совмещенные карты АНИИ-КЛС-НЛЦ Ледовой службы отделения Аляска НОАА-НИЦ Планета доступны по адресу <http://wdc.aari.ru/datasets/d0040>.

Результаты расчетов ледовитости Северной, Южной полярных областей, их отдельных меридиональных секторов, морей и частей морей доступны на сервере МЦД МЛ АНИИ в каталогах соответственно <http://wdc.aari.ru/datasets/ssmi/data/north/extent/> и <http://wdc.aari.ru/datasets/ssmi/data/south/extent/>.

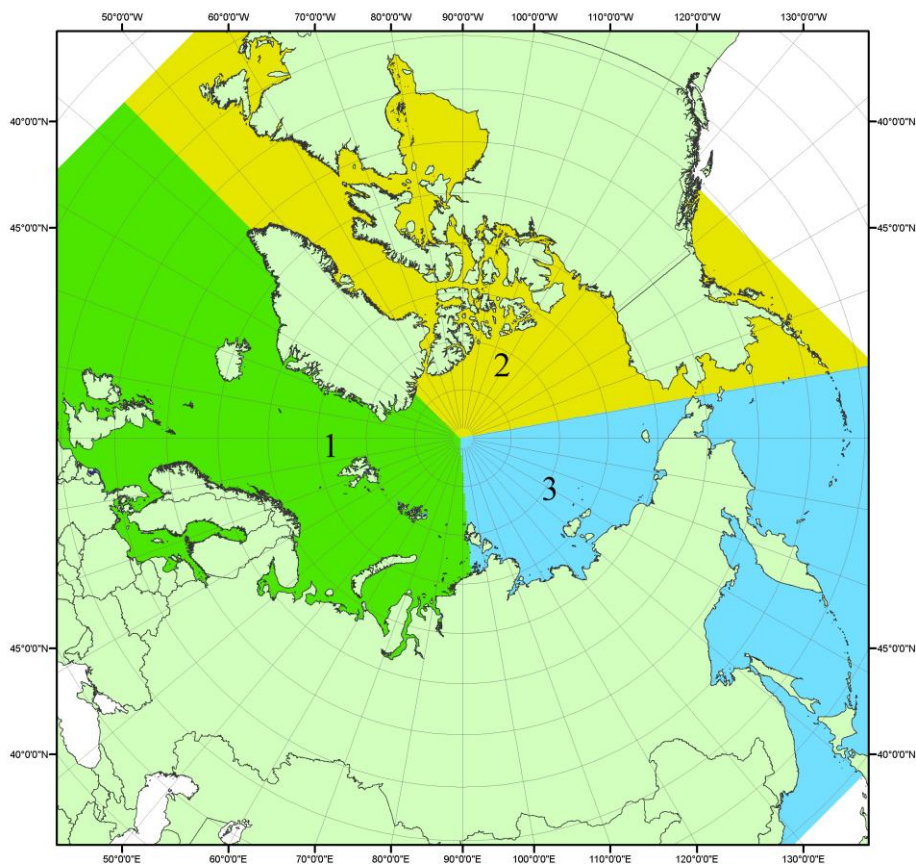


Рисунок П1 – Секторальное деление северной полярной области. 1 - Сектор $45^\circ\text{W}-95^\circ\text{E}$ (Гренландское - Карское моря); 2 - Сектор $170^\circ\text{W}-45^\circ\text{W}$ (море Бофорта и Канадская Арктика); 3 - Сектор $95^\circ\text{E}-170^\circ\text{W}$ (моря Лаптевых - Чукотское, Берингово, Охотское, Японское)

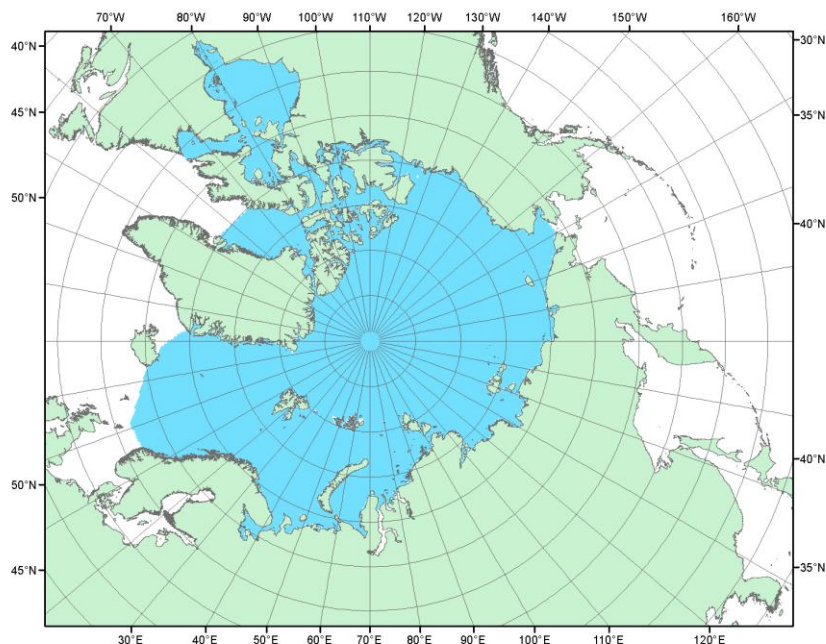


Рисунок П2 – Северный ледовитый океан в официальных границах

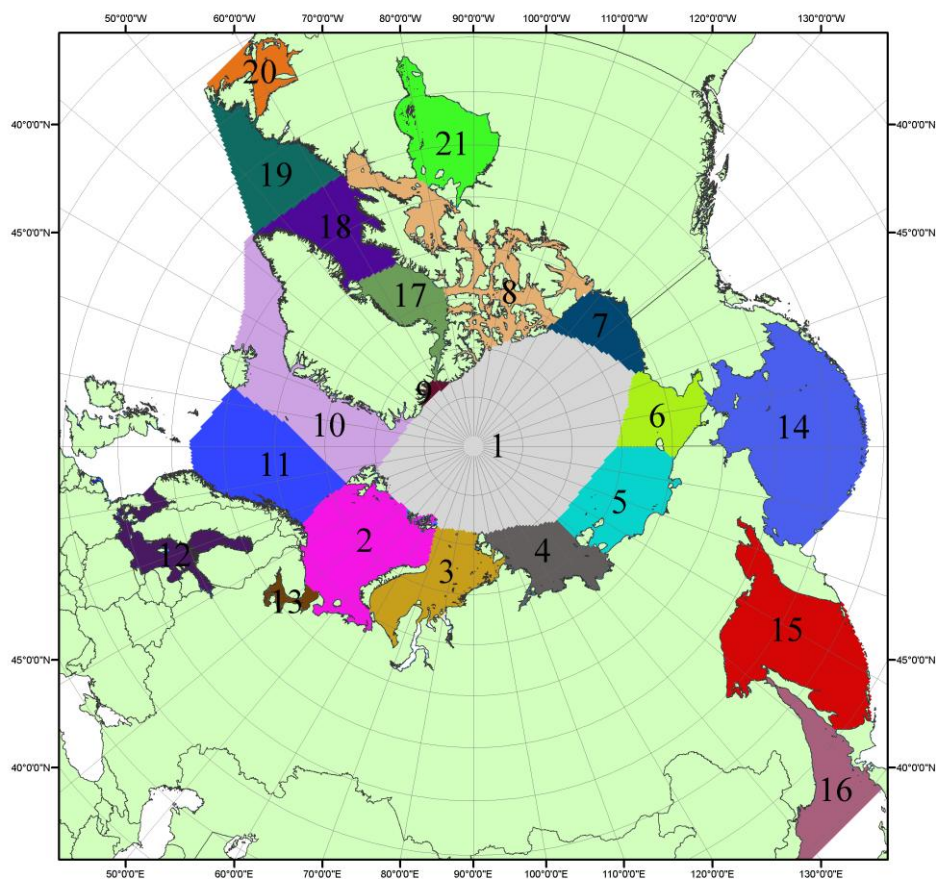


Рисунок П3 – моря северной полярной области. 1 – Арктический бассейн; 2- Баренцево море; 3 – Карское море; 4 – море Лаптевых; 5 - Восточно-Сибирское море; 6 – Чукотское море; 7 – море Бофорта; 8 – Канадский архипелаг; 9 – море Линкольна; 10 – Гренландское море; 11 – Норвежское море; 12 – Балтийское море; 13 – Белое море; 14 – Берингово море; 15 – Охотское море; 16 – Японское море; 17 – море Баффина; 18 – Дейвисов пролив; 19 – море Лабрадор; 20 – залив Святого Лаврентия; 21 – Гудзонов залив.

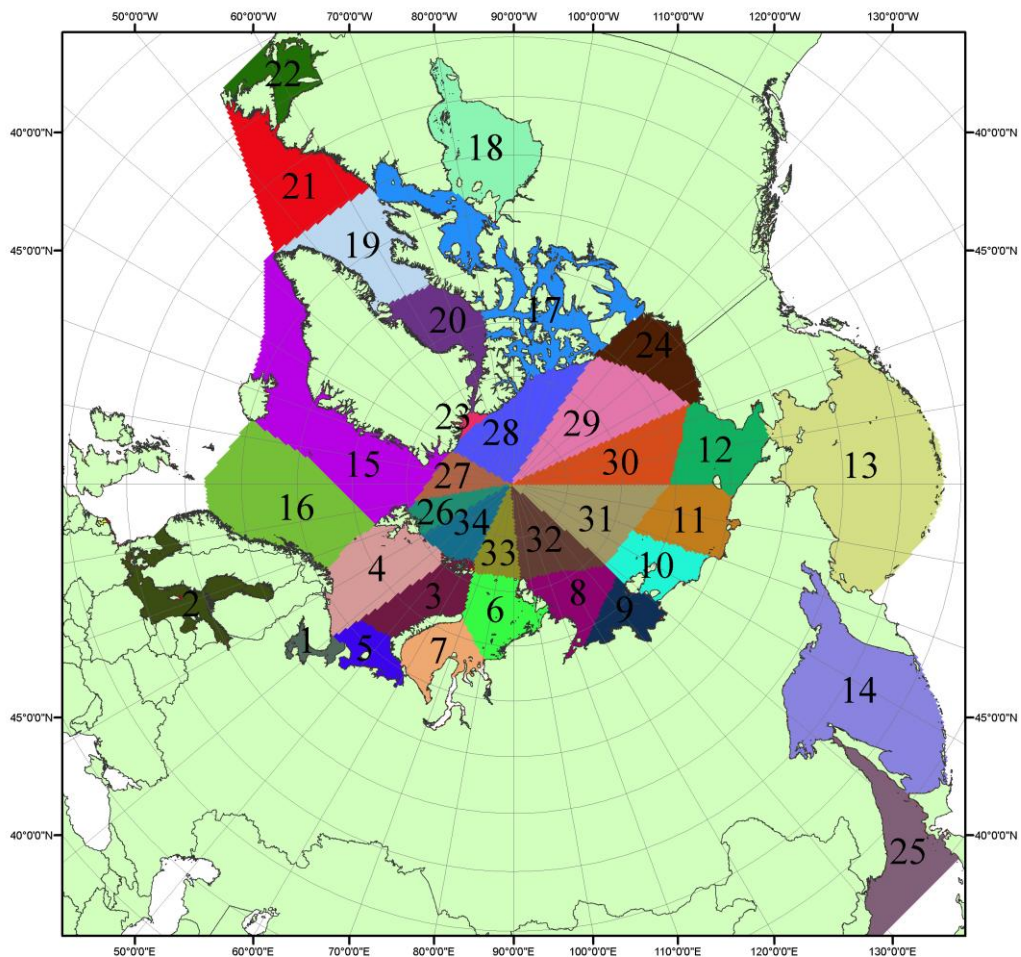


Рисунок П4 – Сектора и моря северной полярной области. 1 - Белое море; 2- Балтийское море; 3 – Баренцево море (СВ); 4 – Баренцево море (З); 5 - Баренцево море (ЮВ); 6 – Карское море (СВ); 7 – Карское море (ЮЗ); 8 – море Лаптевых (В); 9 – море Лаптевых (З); 10 – Восточно-Сибирское море (З); 11 – Восточно-Сибирское море (В); 12 –Чукотское море; 13 –Берингово море; 14 – Охотское море; 15 –Гренландское море; 16 – Норвежское море; 17 – Канадский архипелаг; 18 – Гудзонов залив; 19 – Дейвисов пролив; 20 - море Баффина; 21 – море Лабрадор; 22 - залив Святого Лаврентия; 23 - море Линкольна; 24 - море Бофорта; 25 - Японское море; 26 - сектор АО (30°з.д. – 10°в.д.); 27 – сектор АО (10°в.д. – 30°в.д.); 28 - сектор АО (30°в.д. – 65°в.д.); 29 - сектор АО (65°в.д. – 96°в.д.);30 - сектор АО (96°в.д. – 140°в.д.);31 - сектор АО (140°в.д. – 180°в.д.); 32 - сектор АО (180°в.д. – 156°з.д.); 33 - сектор АО (156°з.д. – 123°з.д.); 34 - сектор АО (123°з.д. – 30°з.д.).

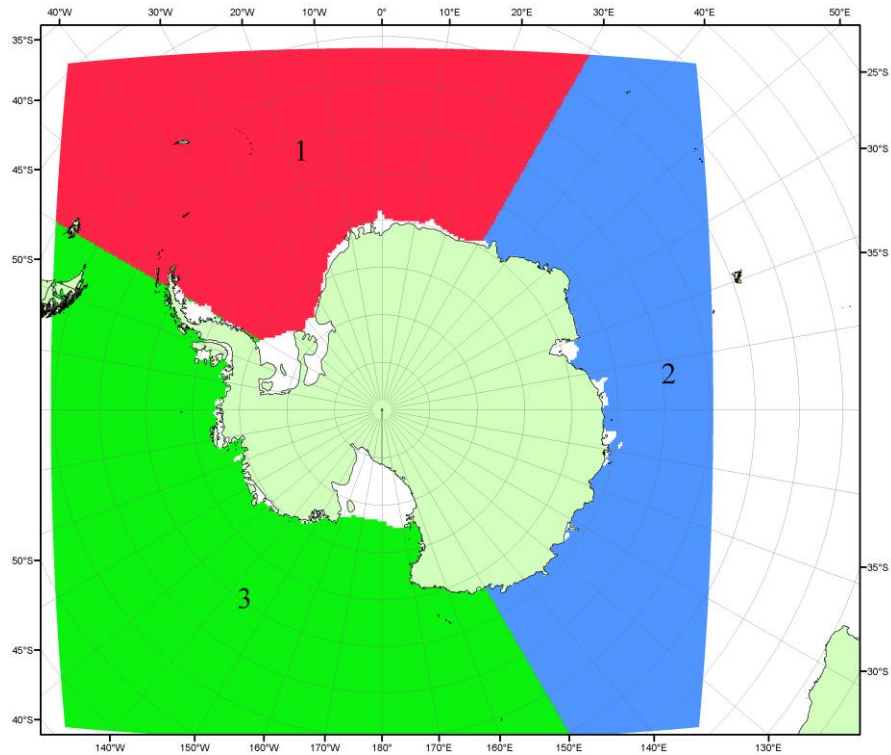


Рисунок П5 – Секторальное деление Южного океана. 1 - Атлантический сектор (60°W-30°E, море Уэдделла); 2 - Индоокеанский сектор (30°E-150°E, моря Космонавтов, Содружества, Моусона); 3 - Тихоокеанский сектор (150°E-60°W, моря Росса, Беллингаузена)

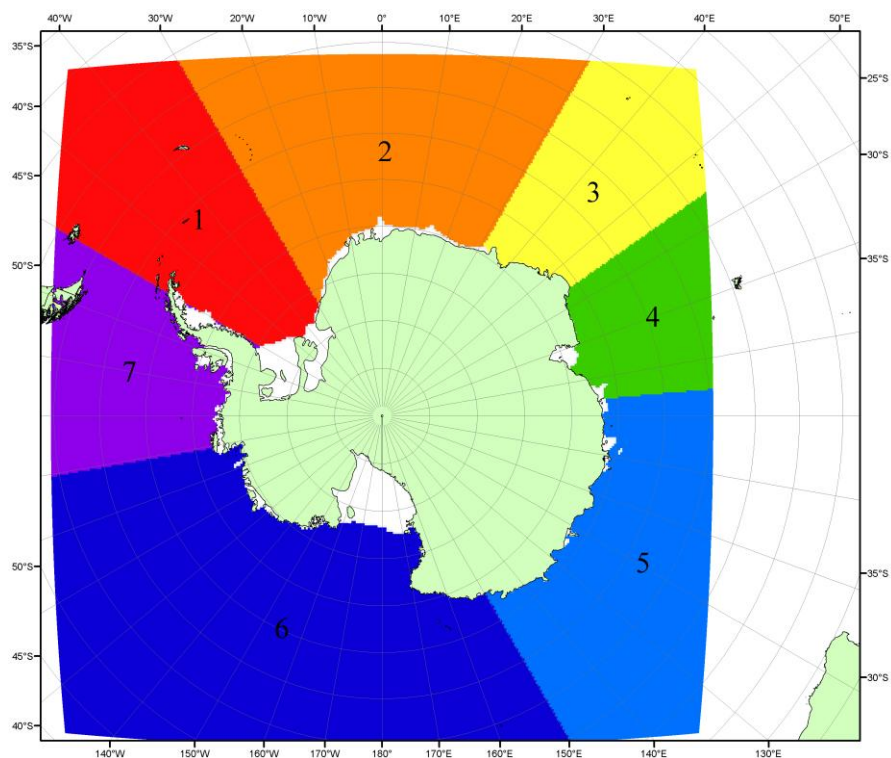


Рисунок П6 – Моря Южного океана. 1 – Западная часть моря Уэдделла; 2- Восточная часть моря Уэдделла; 3 – Море Космонавтов; 4 – море Содружества; 5 – море Моусона; 6 – море Росса; 7 – Море Беллингаузена.

СПИСОК ИСТОЧНИКОВ

1. Атлас океанов. Северный Ледовитый океан. – 1980. М: Изд. ГУНИО МО СССР ВМФ – 184 с.
2. Атлас океанов. Термины. Понятия. Справочные таблицы. - Изд. ВМФ МО СССР.-1980.
3. Границы океанов и морей. – 1960. Л.: Изд. ГУНИО ВМФ. – 51 с.
4. Обзорные ледовые карты ФГБУ «АНИИ» Северного Ледовитого океана за 2008 – настоящий момент времени в обменном формате ВМО СИГРИД-3 // Мировой центр данных по морскому льду - Глобальный банк данных по морскому льду – <http://wdc.aari.ru/datasets/d0015>.
5. Комплексные ледовые карты ФГБУ «АНИИ» Южного океана за 2014 год – настоящий момент времени в обменном формате ВМО СИГРИД-3 // Мировой центр данных по морскому льду - Глобальный банк данных по морскому льду – <http://wdc.aari.ru/datasets/d0015>.
6. Комплексные ледовые карты ФГБУ «АНИИ» арктических и замерзающих морей России за 1997 – 2021 гг. в обменном формате ВМО СИГРИД-3 // Мировой центр данных по морскому льду - Глобальный банк данных по морскому льду – <http://wdc.aari.ru/datasets/d0004>.
7. Карты ФГБУ «АНИИ» анализа крупных айсбергов Южного океана за 2014-2020 гг. в обменном формате ВМО СИГРИД-3 // Мировой центр данных по морскому льду - Глобальный банк данных по морскому льду – <http://wdc.aari.ru/datasets/d0015>.
8. Комплексные ледовые карты ФГБУ «Гидрометцентр России» Азовского, Каспийского и Белого морей за 2000-2019 гг. в обменном формате ВМО СИГРИД-3 // Мировой центр данных по морскому льду - Глобальный банк данных по морскому льду – <http://wdc.aari.ru/datasets/d0033>.
9. Комплексные ледовые карты ФГБУ «НИЦ Планета» Азовского, Каспийского, Берингова, Охотского и Японского морей за 2016 год – настоящий момент времени в обменном формате ВМО СИГРИД-3 // Мировой центр данных по морскому льду - Глобальный банк данных по морскому льду – <http://wdc.aari.ru/datasets/d0034>.
10. Комплексные ледовые карты Северной полярной области и Южного океана Национального ледового центра США за 2003 год – настоящий момент времени в обменном формате ВМО СИГРИД-3 // Мировой центр данных по морскому льду - Глобальный банк данных по морскому льду – <http://wdc.aari.ru/datasets/d0032>.
11. Карты анализа крупных айсбергов Южного океана Национального ледового центра США за 2014 год – настоящий момент времени в обменном формате ВМО СИГРИД-3 // Мировой центр данных по морскому льду - Глобальный банк данных по морскому льду – <http://wdc.aari.ru/datasets/d0032>.
12. Комплексные ледовые карты Канадской Арктики Канадской ледовой службы за 2006 – настоящий момент времени в обменном формате ВМО СИГРИД-3 // Мировой центр данных по морскому льду - Глобальный банк данных по морскому льду – <http://wdc.aari.ru/datasets/d0031>.
13. Cavalieri, D., C. Parkinson, P. Gloersen, and H. J. Zwally. 1996, updated 2008. *Sea Ice Concentrations from Nimbus-7 SMMR and DMSP SSM/I Passive Microwave Data*, [1978.10.26 – 2007.12.31]. Boulder, Colorado USA: National Snow and Ice Data Center. Digital media.
14. Meier, W., F. Fetterer, K. Knowles, M. Savoie, M. J. Brodzik. 2006, updated quarterly. *Sea Ice Concentrations from Nimbus-7 SMMR and DMSP SSM/I Passive Microwave Data*, [2008.01.01 – 2008.03.25]. Boulder, Colorado USA: National Snow and Ice Data Center. Digital media.
15. Maslanik, J., and J. Stroeve. 1999, updated daily. *Near-Real-Time DMSP SSM/I-SSMIS Daily Polar Gridded Sea Ice Concentrations*, [2008.03.26 – present moment]. Boulder, Colorado USA: National Snow and Ice Data Center. Digital media.
16. Andersen, S., R. Tonboe, L. Kaleschke, G. Heygster, and L. T. Pedersen, Intercomparison of passive microwave sea ice concentration retrievals over the high-concentration Arctic sea ice.// J. Geophys. Res. – 2007. – Vol. 112. C08004, doi:10.1029/2006JC003543.
17. Статистические характеристики сплоченности морского льда Северной полярной области и Южного океана на основе данных наблюдений SSMR-SSM/I-SSMIS, алгоритм NASATEAM // Мировой центр данных по морскому льду - Глобальный банк данных по

морскому льду – <http://wdc.aari.ru/datasets/ssmi>.

18. SIGRID-3: A vector archive format for Sea Ice Georeferenced Information and Data - JCOMM Technical Report Series No. 23, 2014, WMO/TD-No.1214.

19. Ice Chart Colour Code Standard. - JCOMM Technical Report Series No. 24, 2004, WMO/TD-No.1215.

(http://jcomm.info/index.php?option=com_oe&task=viewDocumentRecord&docID=4914)

20. Danish Meteorological Institute North Atlantic - Arctic Ocean model HYCOM-CICE - <http://ocean.dmi.dk/models/hycom.uk.php>

21. Портал данных ледового анализа Южного океана Норвежского метеорологического института - <http://polarview.met.no/Antarctic.html>

22. Портал полярных данных Датского метеорологического института - <http://polarportal.dk>

23. Комплексные ледовые карты Берингова и чукотского морей Ледовой службы отделения НОАА Аляска в обменном формате ВМО СИГРИД-3 // <https://www.weather.gov/>.

24. AWI CryoSat-SMOS Merged Sea Ice Thickness - <https://spaces.awi.de/display/CS2SMOS/CryoSat-SMOS+Merged+Sea+Ice+Thickness>

25. Flanders Marine Institute (2018). IHO Sea Areas, version 3. Available online at URL: <http://www.marineregions.org/> (дата обращения 08.04.2023).

26. Полярная равноплощадная проекция Ламберта. URL: <https://epsg.io/3576> (дата обращения 07.04.2023).

27. ESA project SMOS & CryoSat-2 Sea Ice Data Product Processing and Dissemination Service and data from 2010 to 2024, obtained from <https://www.meereisportal.de> (grant: REKLIM-2013-04)/ Ricker, R., Hendricks, S., Kaleschke, L., Tian-Kunze, X., King, J., and Haas, C.:

28. A weekly Arctic sea-ice thickness data record from merged CryoSat-2 and SMOS satellite data, *The Cryosphere*, 11, 1607-1623, <https://doi.org/10.5194/tc-11-1607-2017>, 2017.

29. Kimura, N., M. Oyama, T. Sugimura, 2022, Daily Polar Gridded Sea Ice Age, Version 1, 1.00, Arctic Data archive System (ADS), Japan, <https://ads.nipr.ac.jp/dataset/A20220527-001>

30. Stewart, J. S., Meier, W. N., Marowitz, R., Scott, D. J. & Wilcox, H. (2025). *AMSR2 Daily Polar Gridded Sea Ice Concentrations*. (NSIDC-0803, Version 2). [Data Set]. Boulder, Colorado USA. National Snow and Ice Data Center. <https://doi.org/10.5067/W13AO54SS7CW>.